

الأكاديمية العربية الدولية



الأكاديمية العربية الدولية
Arab International Academy

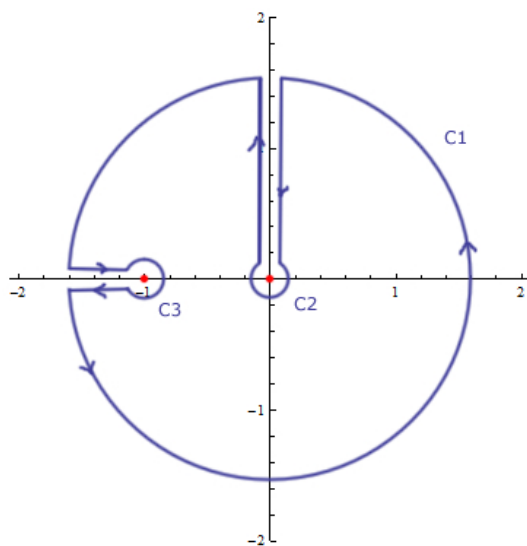
الأكاديمية العربية الدولية المقررات الجامعية



جامعة الملك فيصل
كلية العلوم
قسم الرياضيات والإحصاء

التحليل المركب

إعداد: د. أحمد خالد العبدالعالی



المحتوى

ي

مقدمة

١
١

فضاء الأعداد المركبة

1.1	كتابة العدد المركب
1
1.2	نظريه دي موافر وجذور الأعداد المركبة
3
1.3	الخصائص التوبولوجية للمركب والدوال المركبة
3
1.4	تمارين
6

٢
٩

الدوال التحليلية

2.1	متسلسلات القوى
9
2.2	الاشتقاق وقابلية التفاضل
13
2.3	معادلات كوشي - ریمان
15
2.4	الدوال التوافقية
16
2.5	تمارين
17

٣
١٩

التكامل المركب

3.1	القوس الأملس قطعا
19
3.2	التكامل على القوس
20
3.3	دليل الأقواس المعلقة
22
3.4	نظريه كوشي
24
3.5	صيغ كوشي التكاملية و مفكوك تايلور للدوال التحليلية
28

٤
٣٧

4.1

37 مفکوك لوران وتصنيف النقاط الشاذة

4.2

41 نظرية الباقي

نظرية الباقي

مقدمة

بسم الله والحمد لله والصلوة والسلام على رسول الله سيدنا ونبينا محمد وعلى آله وصحبه أجمعين. أما بعد، فإن التحليل المركب هو أحد الفروع الرئيسية في علم الرياضيات، وقد أولاه العلماء منذ اكتشاف فضاء الأعداد المركبة اهتماماً كبيراً، نظراً لما لنتائجها من تطبيقات في فروع الرياضيات الأخرى. وفي هذا المقرر نعترم دراسة مجموعة من المفاهيم والمواضيع في التحليل المركب والتي من شأنها أن تكون أساساً للطالب يمكنه من التعمق مستقبلاً في هذا المجال.

وينقسم المقرر إلى أربعة أقسام رئيسية، ففي القسم الأول نعطي تعريف الفضاء المركب وخصائصه وصور كتابة الأعداد المركبة. كما ننطرق لنظرية دي موافر وإيجاد جذور الأعداد المركبة. ثم ننتقل للخواص التوبولوجية للفضاء المركب وتعريف الدوال في المركب واتصالها.

في القسم الذي يليه ، نتعرض لمسلسلات القوى ونصف قطر تقاربها وتعريف الدوال التحليلية وعلاقتها بالدوال القابلة للتفضال واستخدام معادلات كوشي – ریمان لفحص قابلية الاشتتقاق. كما ونرجع في نهاية القسم على الدوال التوافقية والمرافق التوافقية.

القسم الثالث يهتم بدراسة تكامل الدوال المركبة على الأقواس الملمساء قطعاً، حيث نقوم بدراسة الأقواس وأنواعها ودليل الأقواس الملمساء قطعاً والمغلقة، كما ننطرق في هذا القسم إلى نظرية كوشي بصورتها البسيطة وصورتها العامة عن الجموعات بسيطة الترابط. في هذا القسم أيضاً ندرس صيغ كوشي التكاملية وتطبيقاتها بالإضافة إلى مفكوك تايلور للدوال التحليلية وما ينتج من دراسة هذا المفكوك من نتائج كنظرية ليوفيل والنظرية الأساسية في الجبر. ومن بعد ذلك ندرس خواص أصناف الدوال التحليلية ومبدأ القيمة العظمى لها. ونختتم القسم الأخير ببعض النظريات المتعلقة بتمديد الدوال التحليلية عبر نقاط أو حواجز صغيرة.

القسم الرابع والأخير يتمركز حول نظرية الباقي، ولدراسة ذلك فإننا نستعرض مجموعة من المفاهيم كمفوكوك لوران على النطاقات الحلقة وتصنيف النقاط الشاذة وإيجاد الباقي عند هذه النقاط. ثم نستعرض بعد ذلك مجموعة من التطبيقات على نظرية الباقي كحساب بعض التكاملات المعطلة.

ولكي يكون الملخص ملائماً للتدريس فقد قمنا بتوزيع المحتوى على أسبوع الفصل الدراسي كما يلي

الأسبوع	المحتوى
الأول	فضاء الأعداد المركبة ونظرية ديموفر جذور الأعداد المركبة
الثاني	متسلسلات القوى والتعيين الأساسي للوغاريتيم
الثالث	الدوال التحليلية (قابلية الاشتتقاق + قابلية التفاضل)
الرابع	معادلات كوشي - زيان والدوال التوافقية
الخامس	تعريف التكامل على الأقواس المنساء ودليل الأقواس المعلقة
السادس	نظرية كوشي العامة
السابع	مفهوك تايلور للدوال التحليلية وصيغ كوشي التكاملية
الثامن	النظرية الأساسية في الجبر ونظرية الأصفار العزولة
النinth	مبدأ القيمة العظمى للدوال التحليلية
العاشر	مفهوك لوران
الحادي عشر	تصنيف النقاط الشاذة وإيجاد الباقي
الثاني عشر	نظرية الباقي
الثالث عشر	تطبيقات على نظرية الباقي (إيجاد التكاملات المعتلة)
الرابع عشر	نظرية الدالة المفتوحة والدوال الحافظة للزوايا

فضاء الأعداد المركبة

1.1 كتابة العدد المركب

نعتبر الفضاء المركب \mathbb{C} على أنه الفضاء \mathbb{R}^2 مع عملية جمع وضرب بالصورة التالية:
لكل $(a, b), (c, d) \in \mathbb{R}^2$ نعرف

$$(a, b) + (c, d) = (a + c, b + d) . 1$$

$$(a, b) * (c, d) = (ac - bd, ad + bc) . 2$$

من التعريف السابق لعمليتي الجمع والضرب، نجد أن \mathbb{C} حقل إبدالي حيث المحايد الجماعي هو العنصر $(0, 0)$ والمحايد الضريبي هو العنصر $(1, 0)$. كما أنها نلاحظ أن

$$(a, 0) + (b, 0) = (a + b, 0) , \quad (a, 0) * (b, 0) = (ab, 0)$$

ومن هنا يتضح لنا أن العدد المركب $(a, 0)$ ما هو إلا العدد الحقيقي a . الآن لنضع $i = (0, 1)$ ، نجد أن

$$i^2 = (0, 1) * (0, 1) = (-1, 0) = -1$$

ولذلك نسمى i عنصر الوحدة التخيلية حيث أن المساواة أعلاه لا تتحقق لأي عدد حقيقي. ومن هنا نرى كيف لبناء فضاء الأعداد المركبة أن يسهم في حل مشاكل مستعصية في الحقيقي ففي الوقت الذي تكون في المعادلة $x^2 + 1 = 0$ مستحيلة الحل في \mathbb{R} ، نجد أن لها حل في \mathbb{C} وهو $i = x$. فيما سبق رأينا أن العدد المركب يمكن كتابة صورة زوج مرتبت (a, b) ، وبتحليل هذا الزوج نجد أن

$$(a, b) = (a, 0) + i(b, 0) = a + ib$$

وهذه هي الصورة الجبرية للعدد المركب $Z = (a, b) = a + ib$ وعندها نسمي a الجزء الحقيقي للعدد المركب z ونرمز له بالرمز $Re(z)$ و b الجزء التخيلية للعدد المركب z ونرمز له بالرمز $Im(z)$.

خصائص الأعداد المركبة ليكن $z = a + ib$ عدد مركب نعرف معيار أو مقاييس العدد z على الصورة

$$|z| = \sqrt{a^2 + b^2}$$

وهندسياً نرى أن معيار العدد المركب ما هو إلا المسافة بين العدد ونقطة الأصل $(0, 0)$ في المستوى \mathbb{R}^2 . نعرف أيضاً \bar{z} مرافق العدد المركب z على الصورة $\bar{z} = a - ib$ ، وهندسياً نتحصل عليه بانعكاس العدد z حول المحور السيني. لاحظ أن $|\bar{z}| = |z|$. كما أنها نستطيع ومن خلال التعريفات السابقة أن نستنتج العلاقة التالية لـ كل $z, w \in \mathbb{C}$.

$$1) \overline{z + w} = \bar{z} + \bar{w}, \quad 2) \overline{z * w} = \bar{z} * \bar{w}$$

$$3) |z * w| = |z| * |w| , \quad 4) Re(z) \leq |z|$$

$$5) Im(z) \leq |z| , \quad 6) Re(z) = \frac{z + \bar{z}}{2}$$

$$7) Re(z) = \frac{z - \bar{z}}{2i}$$

نظريه 1.1.1 (متباينة المثلث)

ليكن $z, w \in \mathbb{C}$ فإن $|z + w| \leq |z| + |w|$.

برهان من خصائص الأعداد المركبة نعلم أن

$$\begin{aligned} |z + w|^2 &= (z + w)(\overline{z + w}) \\ &= (z + w)(\bar{z} + \bar{w}) \\ &= |z|^2 + |w|^2 + z * \bar{w} + \bar{z} * w \\ &= |z|^2 + |w|^2 + 2\operatorname{Re}(z * \bar{w}) \\ &\leq |z|^2 + |w|^2 + 2|z * \bar{w}| \\ &= (|z| + |w|)^2 \end{aligned}$$

ومن ذلك ينبع المطلوب بأخذ الجذر للطرفين في العلاقة السابقة.

الصورة القطبية للعدد المركب. تطرقنا فيما سبق للصورة البيانية والجبرية للعدد المركب z . والآن سنستدل على العدد المركب بدلالة سعته ومقياسه وهو ما سنبينه أدناه.
ليكن $z = x + iy$ عدد غير صوري ولتكن θ هي الزاوية التي يصنعها المتوجه مع محور السينات الموجب، ولنضع $|z| = r$ فنجد أن

$$x = r \cos \theta, \quad y = r \sin \theta$$

وبالتالي يمكن كتابة العدد المركب z على الصورة $z = r(\cos \theta + i \sin \theta)$ ، وبما أن دالتى الجيب وجيب التمام دورية فإن

$$z = r(\cos(\theta + 2k\pi) + i \sin(\theta + 2k\pi)), \quad k \in \mathbb{Z}.$$

نسمى θ سعة العدد المركب ونرمز له بالرمز $\arg(z) = \theta$. نلاحظ أنه باستخدام السعة يمكن كتابة العدد المركب بعدد لا نهائي من الطرق وهو الأمر الذي يجعل العلاقة $\arg(z)$ لا تمثل دالة، وللتغلب على هذه المشكلة نعرف السعة الأساسية للعدد المركب $\arg(z)$ على أنها سعة العدد z التي تتبعها للفترة $[-\pi, \pi]$.

مثال 1.1.2 أكتب العدد المركب $1 - i$ على الصورة القطبية وأوجد سعته الأساسية.

الحل

لكتابة العدد $1 - i$ على الصورة القطبية، يلزم إيجاد سعته الأساسية ومقياسه. وعند حساب المقياس نجد أن

$$r = \sqrt{1^2 + (-1)^2} = \sqrt{2}$$

وأن

$$\cos \theta = \frac{1}{\sqrt{2}}, \quad \sin \theta = \frac{-1}{\sqrt{2}}$$

أي أن الزاوية في الربع الرابع ومقدارها $= 2\pi - \frac{\pi}{4} = \frac{7\pi}{4}$. وعليه فإن

$$1 - i = \sqrt{2}(\cos(\frac{7\pi}{4} + 2k\pi) + i \sin(\frac{7\pi}{4} + 2k\pi)), \quad k \in \mathbb{Z}$$

ولإيجاد السعة الأساسية نختار من بين الساعات تلك السعة التي تقع بين $-\pi$ و π ، وبالتالي فإن $\frac{7\pi}{4}$ لا تصلح أن تكون سعة أساسية كون $\pi > \frac{7\pi}{4}$ ولذلك نقوم بعمل دورة كاملة بالاتجاه السالب فنحصل على

$$-\pi < \frac{7\pi}{4} - 2\pi = -\frac{\pi}{4} < \pi \Rightarrow \arg(1 - i) = -\frac{\pi}{4}.$$

1.2 نظرية دي موافر وجذور الأعداد المركبة

نستعرض في هذا القسم كيفية حساب قوى وجذور الأعداد المركبة. فعلى سبيل المثال لو طلب منا حساب $(1-i)^{100}$ ، فإننا باستخدام نظرية ذات الحدين والتي تنص على أن

$$(a+b)^n = \sum_{k=0}^n \frac{n!}{k!(n-k)!} a^{n-k} b^k, \quad \forall a, b \in \mathbb{C} \text{ و } n \in \mathbb{N}$$

سيطلب منا حساب 101 حد لايجاد المطلوب، وهو بلا أدنى شك عمل معقد يمكن تجنبه باستخدام نظرية دي موافر. ليكن $z = r(\cos \theta + i \sin \theta)$ عدد مركب. عندها نجد أن

$$\begin{aligned} z^2 &= r^2(\cos \theta + i \sin \theta)^2 \\ &= r^2(\cos^2 \theta - \sin^2 \theta + 2i \cos \theta \sin \theta) \\ &= r^2(\cos 2\theta + i \sin 2\theta) \end{aligned}$$

وبشكل عام، نستطيع باستخدام الاستقراء أن نبرهن النظرية التالية.

1.2.1 (نظرية دي موافر)

ليكن $z_j = r_j(\cos \theta_j + i \sin \theta_j)$, $j = 1, \dots, n$ أعداد مركبة فإن

$$z_1 * \dots * z_n = r_1 \dots r_n (\cos(\theta_1 + \dots + \theta_n) + i \sin(\theta_1 + \dots + \theta_n))$$

كتطبيق مباشر على هذه النظرية نجد أن

$$(1-i)^{100} = [\sqrt{2}(\cos \frac{7\pi}{4} + i \sin \frac{7\pi}{4})]^{100} = 2^{50}(\cos 175\pi + i \sin 175\pi) = -2^{50}$$

الآن لنأخذ عدد مركب $\alpha = r(\cos \theta + i \sin \theta)$ ولنحاول إيجاد الأعداد المركبة z التي تتحقق أن $\alpha = z^n$. لاحظ أنه بوضع

$$z_k = r^{\frac{1}{n}} \left(\cos \left(\frac{\theta + 2k\pi}{n} \right) + i \sin \left(\frac{\theta + 2k\pi}{n} \right) \right), \quad k \in \mathbb{Z}$$

نجد باستخدام نظرية دي موافر أن $\alpha = z_k^n$. وبالتالي فإن الجذور التنوينية المختلفة للعدد المركب α هي

$$z_k = r^{\frac{1}{n}} \left(\cos \left(\frac{\theta + 2k\pi}{n} \right) + i \sin \left(\frac{\theta + 2k\pi}{n} \right) \right), \quad k = 0, \dots, n-1$$

ملاحظة 1.2.2 لاحظ أن الجذور التنوينية للعدد α تمثل هندسياً رؤوس مضلع منتظم له n من الأضلاع محاط بدائرة نصف قطرها $r^{\frac{1}{n}}$ سعة أول رؤوسه $\frac{\theta}{n}$.

1.3 الخصائص التوبولوجية للمركب والدوال المركبة

تعريف 1.3.1 لنكن X مجموعة و $d : X \times X \rightarrow [0, \infty)$ بحيث

$$\cdot x = y \text{ إذا وفقط إذا } d(x, y) = 0. \quad .1$$

$$\cdot x, y \in X \text{ لكل } d(x, y) = d(y, x). \quad .2$$

$$\cdot d(x, y) \leq d(x, z) + d(z, y) \text{ فإن } x, y, z \in X. \quad .3$$

إذن d دالة مسافة، وعندما نسمى الزوج (X, d) فضاء متري. إذا كان $x \in X$ و $r > 0$ فإننا نعرف الكرة المفتوحة $B(x, r)$ ذات مركز x ونصف قطر r ، تاليًا، كما يلي

$$B(x, r) = \{y \in X, d(x, y) < r\}, \quad \overline{B}(x, r) = \{y \in X, d(x, y) \leq r\}.$$

بالعودة إلى مجموعة الأعداد المركبة فإن الزوج (\mathbb{C}, d) حيث $d(a, b) = |a - b|$ هو فضاء متري والكرات فيه ما هي إلى أقراص من المستوى.

تعريف 1.3.2 لتكن Ω مجموعة من \mathbb{C} نقول أن Ω مجموعة مفتوحة إذا كان لكل $z \in \Omega$ يوجد $r > 0$ بحيث يكون $\Omega \subset B(z, r)$. كما نقول عن مجموعة F أنها مغلقة إذا كان مكمالتها في المركب F^c مفتوحة.

مثال 1.3.3 المجموعة $\{z \in \mathbb{C}, -1 < \operatorname{Re}(z) < 0\}$ مفتوحة بينما $\{z \in \mathbb{C}, 0 \leq \operatorname{Re}(z) \leq 1\}$ ليست كذلك. (لماذا؟!)

تعريف 1.3.4 نقول عن مجموعة جزئية A من فضاء متري (X, d) بأنها محدودة إذا وفقط إذا كان $\operatorname{diam}(A) < \infty$ حيث

$$\operatorname{diam}(A) = \sup_{x, y \in A} d(x, y)$$

تعريف 1.3.5 (الترابط)

نقول عن فضاء متري (X, d) بأنه متراً إذا لم يوجد مجموعتان مفتوحتان غير خاليتين A, B من X بحيث $A \cap B = \emptyset$ و $A \cup B = X$. إذا كان Ω مفتوح ومتراً من X فإن Ω يسمى نطاق.

التفسير الهندسي للمجموعات المترابطة في المركب يمكن تصوره من خلال النظرية التالية.

نظرية 1.3.6 إذا كان Ω محتوى في \mathbb{C} ، فإن Ω متراً إذا وفقط إذا كان لكل $a, b \in \Omega$ يوجد مضلع $\Gamma_{a,b}$ يبدأ من a وينتهي بالنقطة b بحيث $\Gamma_{a,b} \subset \Omega$.

مثال 1.3.7 \mathbb{C}^* مجموعة متراً بينما مجموعة الأعداد الصحيحة \mathbb{Z} ليست كذلك.

تعريف 1.3.8 نقول عن مجموعة Ω من المركب بأنها محدبة إذا كان $a, b \in \Omega$ فإن

$$ta + (1 - t)b \subset \Omega, \quad \forall t \in [0, 1]$$

أي أن القطعة $[a, b]$ محتواه في Ω .

ملاحظة 1.3.9 كل محدب يكون متراً، ولكن العكس غير صحيح. فعلى سبيل المثال \mathbb{C}^* متراً لكنه غير محدب. (لماذا؟!)

المتباneas. إن مفهوم التقارب للمتباneas في الفضاءات المتريّة هو من المفاهيم المهمة التي تلعب دوراً بارزاً في دراسة الفضاءات المتريّة، وفي ما يلي نورد سندرس بعض النظريات ذات العلاقة بمحل دراستنا.

تعريف 1.3.10 نقول عن متباnea $(x_n)_{n \in \mathbb{N}}$ من فضاء متري (X, d) بأنها متقاربة إلى عنصر $x \in X$ إذا وفقط إذا كان لكل $\epsilon > 0$ يوجد $N \in \mathbb{N}$ بحيث

$$\forall n > N, \quad x_n \in B(x, \epsilon)$$

ونقول أن المتباnea $(x_n)_{n \in \mathbb{N}}$ كوشية إذا وفقط إذا كان لكل $\epsilon > 0$ يوجد $N \in \mathbb{N}$ بحيث

$$\forall n, m > N, \quad d(x_n, x_m) < \epsilon$$

ملاحظة 1.3.11 تفسير تعريف التقارب هندسياً في الفضاء المركب، هو أنه لأي قرص مركزه x فإنه ابتداءً من حد معين تكون جميع عناصر المتباnea $(x_n)_{n \in \mathbb{N}}$ محتواة بداخل القرص. كما لاحظ من التعريف السابق أن كل متباnea تقاربة تكون كوشية أما العكس فليس صحيح. (اعط مثالاً على ذلك)

نتيجة 1.3.12 لتكن F مجموعة جزئية من فضاء متري X ، فإن F مغلقة إذا وفقط إذا كل متتابعة من F متقاربة فإذا نهايتها تكون في F .

■ **برهان** البرهان متترك كتمرين للقارئ.

نظيرية 1.3.13 \mathbb{C} فضاء متري تام. (أي أن كل متتابعة كوشية تكون تقاربية)

برهان قبل أن نخوض في تفاصيل البرهان، نذكر أولاً بأن \mathbb{R} هو فضاء تام. الآن لتكن $(z_n = x_n + iy_n)_{n \in \mathbb{N}}$ متتابعة كوشية ولتكن $0 < \varepsilon$ ، نجد أنه يوجد $N \in \mathbb{N}$ فين $n, m > N$ فين $\varepsilon > |z_n - z_m|$. لكن

$$|x_n - x_m| \leq |z_n - z_m| < \varepsilon$$

وبالتالي فإن المتتابعة (x_n) كوشية من \mathbb{R} فهي تقاربية. بالمثل نستنتج تقارب المتتابعة (y_n) ، ومن ذلك نجد أن المتتابعة (z_n) متقاربة. ■

تعريف 1.3.14 ليكن A مجموعة جزئية من فضاء متري (X, d) . نقول عن العنصر x in X بأنه نقطة تراكم للمجموعة A إذا وفقط إذا كان لكل $0 < \varepsilon$ فإن

$$B(x, \varepsilon) \setminus \{x\} \cap A \neq \emptyset$$

مثال 1.3.15 إذا وضعنا $\Omega = B(0, 1) \cup \{2i\}$ ، فإن العنصر 1 هو نقطة تراكم للمجموعة بينما العنصر $2i$ ليس كذلك.

نظيرية 1.3.16 (نظيرية كانتون) الفضاء المتري (X, d) تام إذا وفقط إذا كان لكل متتابعة منمجموعات مغلقة وغير خالية (F_n) بحيث ... $\cap F_n$ يكون $diam(F_n) \rightarrow 0$ و $F_1 \supset F_2 \supset \dots$ على نقطة واحدة فقط.

التراس. يأتي مفهوم التراس ليعمم دراستنا للمجموعات المتهيئة وسنذكر في ما يلي بعض التعريفات والتائج المهمة ذات الصلة بمحل دراستنا.

تعريف 1.3.17 نقول عن مجموعة K من فضاء متري (X, d) بأنها متراصة إذا وفقط إذا كان لكل غطاء G منمجموعات مفتوحة للمجموعة K يمكن استخلاص غطاء جزئي متهي.

مثال 1.3.18 في الفضاء المركب فإن كل مجموعة متهيئة تكون متراصة، بينما المجموعة $B(0, 1)$ ليست متراصة. في الواقع الغطاء المكون من المجموعات المفتوحة $(\frac{1}{n} - B(0, 1))$ هو غطاء لقرص الوحدة لكن لا يمكن أن نستخلص منه غطاء جزئي متهي.

النظيرية التالية ستمكننا من الحكم على تراس المجموعات في المركب من عدمه، حيث أن المركب توبولوجيًّا ما هو إلا \mathbb{R}^2 كما رأينا في الفصل الأول.

نظيرية 1.3.19 (نظيرية هان-بوريل) لتكن K مجموعة جزئية من " \mathbb{R} "، فإن K تكون متراصة إذا وفقط إذا كانت مغلقة ومحدودة.

نظيرية 1.3.20 إذا كان K متراص من فضاء متري X و A مجموعة غير متهيئة من K ، فإن A لها نقطة تراكم في K .

برهان إذا افترضنا أنه لا توجد نقطة تراكم للمجموعة A في K ، فإنه لكل $x \in K$ توجد كرة B_x تحتوي على الأكثرغطاء جزئي متهي كون $A \subset B_x$ وغير متهيئة. وهذا ينافي خاصية التراس للمجموعة K . ■

الاتصال. نختتم هذا الفصل بدراسة الاتصال الدوال في الفضاءات المترية، وهو مفهوم سبق وأن تعرض القارئ باستفاضة، إلا أنها سنخرج على بعض النظريات المهمة المتعلقة بالاتصال.

تعريف 1.3.21 ليكن (X, d) و (Y, ρ) فضاءين مترين ولتكن $f : X \rightarrow Y$ دالة. نقول أن دالة متصلة عند $x \in X$ إذا كان لكل $\epsilon > 0$ يوجد $\delta > 0$ بحيث

$$d(x, y) < \delta \Rightarrow \rho(f(x), f(y)) < \epsilon$$

إذا كانت f متصلة عند جميع نقاط X نقول أنها متصلة على X .

نظيرية 1.3.22 إذا كانت f دالة بين فضاءين مترين Y, X ، فإن العبارات التالية متكافئة:

1. f دالة متصلة.
2. لكل O مفتوح من Y فإن $f^{-1}(O)$ مفتوح من X .
3. لكل F مغلق من Y فإن $f^{-1}(F)$ مغلق من X .
4. إذا كانت (x_n) متتابعة متقاربة من x في الفضاء X فإن $(f(x_n))$ متقاربة من $f(x)$ في الفضاء Y .

برهان متوك كتمرين للقارئ.

نظيرية 1.3.23 ليكن (X, d) و (Y, ρ) فضاءين مترين ولتكن $f : X \rightarrow Y$ دالة. نقول أن دالة منتظمـة الاتصال على X إذا كان لكل $\epsilon > 0$ يوجد $\delta > 0$ بحيث

$$\rho(f(x), f(y)) < \epsilon$$

طالما كانت $\delta < d(x, y)$.

من الواضح أن كل دالة منتظمـة الاتصال تكون متصلة، بينما العكس غير صحيح، فعلى سبيل المثال الدالة $f(x) = x^2$ متصلة لكنها غير منتظمـة الاتصال على \mathbb{R} . (لماذا؟)

نظيرية 1.3.24 إذا كانت $f : X \rightarrow Y$ دالة متصلة، فإن صورة كل متراص (مترابط) من X تحت تأثير الدالة f تكون متراص (مترابط) من Y . كما أن الدالة f تكون منتظمـة الاتصال على كل متراص من X .

تعريف ونظيرية 1.3.25 لتكن Ω مجموعة جزئية من \mathbb{C} ولتكن (f_n) متتابعة من الدوال من Ω إلى \mathbb{C} . نقول أن متتابعة الدوال (f_n) متقاربة بانتظام من الدالة f على Ω إذا كانت

$$\lim_{n \rightarrow \infty} \sup_{z \in \Omega} |f_n(z) - f(z)| = 0$$

تمارين 1.4

تمرين 1.4.1 متى تتحقق المساواة في متبانية المثلث؟

تمرين 1.4.2 أثبت أنه لكل $w \in \mathbb{C}$ ، فإن

$$|z| - |w| \leq |z - w|$$

تمرين 1.4.3 أوجد معيار وسعة الأعداد التالية:

$$z = \frac{\sqrt{3} - i}{1 + i\sqrt{3}}, \quad w = \frac{\alpha z}{\beta}$$

حيث $\operatorname{Arg}(\alpha) = \frac{\pi}{4}$, $\operatorname{Arg}(\beta) = \frac{\pi}{2}$ و $|\alpha| = 2$, $|\beta| = 3$

تمرين 1.4.4 أوجد الجزء الحقيقي والتخيلي للمقدار

$$\frac{1 - e^{i(n+1)t}}{1 - e^{it}}.$$

استنتج قيمة $\cos t + \cos 2t + \dots + \cos nt$

تمرين 1.4.5 أوجد حلول المعادلة $z^3 = 1 - i$.

تمرين 1.4.6 ليكن $z \in \mathbb{C}$ يتحقق $Re(z^n) \geq 0$ لـ $n \in \mathbb{N}$. بين أن z هو عدد حقيقي غير سالب.

تمرين 1.4.7 بين أن الدالة $f(z) = z + \frac{1}{z}$ متصلة على \mathbb{C}^* ، ثم أوجد $f(\{|z| = 1\})$ و $f(\{|z| = 2\})$

الدوال التحليلية

نبدأ هذا القسم بجموعة من التعريفات، حيث سنطرق لمسلسلات القوى وانطلاقاً من ذلك سنعرف بعض الدوال المهمة والتي ستكون مدخلاً للدوال التحليلية.

2.1 مسلسلات القوى

تعريف 2.1.1 لتكن $(a_n)_{n \in \mathbb{N}}$ متتابعة من الأعداد الحقيقية. نعرف $\liminf a_n$ و $\limsup a_n$ على الصورة التالية

$$\limsup a_n = \limsup_{n \rightarrow \infty} a_k, \quad \liminf a_n = \liminf_{n \rightarrow \infty} a_k$$

مثال 2.1.2 المتتابعة $(-1)^n$ لا تقارب إلى أي عنصر من المركب إلا أن

$$\limsup(-1)^n = 1, \quad \liminf(-1)^n = -1$$

لاحظ أنه لأي متتابعة $(a_n)_{n \in \mathbb{N}} \subset \mathbb{R}$ فإن النهايتين $\limsup a_n$ ، $\liminf a_n$ موجودتين على الرغم من أنها قد تكونان $\pm\infty$. وعندما يكون

$$\limsup a_n = \liminf a_n$$

فإن المتتابعة (a_n) تكون متقاربة.

تعريف 2.1.3 لتكن $a_n, n \in \mathbb{N}$ عناصر من المركب. نقول أن المسلسلة $\sum_n a_n$ متقاربة إلى a إذا وفقط إذا كان لكل $\epsilon > 0$ يوجد $N \in \mathbb{N}$ بحيث

$$\forall m > N, \quad \left| \sum_{n=m}^{\infty} a_n - a \right| < \epsilon$$

ونقول أن المسلسلة $\sum_n a_n$ متقاربة مطلقاً إذا كانت المسلسلة $|\sum_n a_n|$ متقاربة.

كما هو شأن المسلسلات في الحقيقي، فإن لنا النتيجة التالية.

نظرية 2.1.4 إذا كانت المسلسلة $\sum_n a_n$ متقاربة مطلقاً فهي متقاربة.

برهان ليكن $\epsilon > 0$ ولنضع $z_n = a_1 + \dots + a_n$. حيث أن $\sum |a_n| < \infty$ متقاربة، إذ يوجد $N \in \mathbb{N}$ بحيث $\sum_{n=N}^{\infty} |a_n| < \epsilon$. الآن، عندما $m > k \geq N$

$$|z_m - z_k| = \left| \sum_{n=k+1}^m a_n \right| \leq \sum_{n=k+1}^m |a_n| \leq \sum_{n=N}^{\infty} |a_n| < \epsilon$$

أي أن المتتابعة (z_n) كوشية في \mathbb{C} ، وبالتالي متقاربة. وهذا هو المطلوب.

بمتسلسلة قوى حول $a \in \mathbb{C}$ نعني متسلسلة على الصورة

$$\sum_{n=0}^{\infty} a_n(z-a)^n$$

لعل من أبسط الأمثلة على متسلسلات القوى هو المتسلسلة الهندسية $z^n = \sum_{n=0}^{\infty} z^n$. السؤال الآن، ماهي مجموعة النقاط التي تكون عندها المتسلسلة متقاربة؟
نعلم أن

$$\sum_{k=0}^n z^k = \frac{1-z^{n+1}}{1-z}$$

لكن عندما $|z| < 1$ فإن z^n تؤول إلى الصفر عندما n تؤول إلى الملا نهاية. وبالتالي فإنه

$$\forall |z| < 1, \sum_{n=0}^{\infty} z^n = \frac{1}{1-z}$$

بصورة عامة، نستطيع تحديد مجموعة نقاط التقارب لمتسلسلة قوى من خلال النظرية التالية.

نظيرية 2.1.5 لنكن $\sum a_n(z-a)^n$ متسلسلة القوى حول $a \in \mathbb{C}$ ولنعرف العدد $R \leq 0$ على أنه

$$\frac{1}{R} = \limsup \sqrt[n]{|a_n|}$$

فإن

1. متسلسلة القوى متقاربة عندما $|z-a| < R$.

2. متسلسلة القوى متباعدة عندما $|z-a| > R$.

3. لكل $r < R$ فإن متسلسلة القوى تتقارب بانتظام على المجموعة $\{z \in \mathbb{C} : |z-a| < r\}$.

عندما نسمي R نصف قطر تقارب المتسلسلة وهو العدد الوحيد الذي يحقق الخواص أعلاه.

برهان

مثال 2.1.6 متسلسلة القوى

$$\sum_{n=1}^{\infty} \frac{z^n}{n}$$

لها نصف قطر التقارب $R = 1$ ، ذلك لأن

$$\limsup \sqrt[n]{\frac{1}{n}} = 1$$

لاحظ أنه عندما $z = 1$ فإن المتسلسلة قد تكون متقاربة وقد تكون عكس ذلك. فعلى سبيل المثال هي متقاربة عندما $z = -1$ ومتباعدة عندما $z = 1$. (ماذا عن بقية النقاط على دائرة الوحدة؟!)

استناداً إلى نظيرية 2.1.5، نستنتج ما يلي.

نتيجة 2.1.7 لتكن $\sum a_n(z-a)^n$ متسلسلة قوى ذات نصف قطر تقارب R . فإن

$$R = \lim_{n \rightarrow \infty} \left| \frac{a_n}{a_{n+1}} \right|$$

حال وجود هذه النهاية.

برهان لعتبر أن $a = 0$ ، ولنضع $c = \lim_{n \rightarrow \infty} \left| \frac{a_n}{a_{n+1}} \right|$ ولتكن $N \in \mathbb{N}$ الذي يتحقق أن $|a_{n+1}|r^n < |a_n|$ لـ $n \geq N$. إذا وضعنا $M = |a_N|r$ سنجد أن

$$|a_{N+1}|r^{N+1} = |a_{N+1}|r^N r < |a_N|r^N = M$$

كما أن

$$|a_{N+2}|r^{N+2} = |a_{N+2}|r^{N+1}r < |a_{N+1}|r^{N+1} < M$$

وبالاستمرار بهذه الطريقة، نحصل على أن $M > |a_n|r^n$ وذلك لـ $n \geq N$. لكن في هذه الحالة فإن

$$|a_n z^n| = |a_n r^n| \frac{|z^n|}{r^n} \leq M \frac{|z^n|}{r^n}, \quad \forall n \geq N$$

وحيث أن $r < |z|$ فإن المتسلسلة $\sum a_n z^n$ متقاربة مطلقاً، وبالتالي فهي متقاربة. والآن من تعريف نصف قطر التقارب، نخلص إلا أن $R \leq c$. لنتهي الإثبات، نحتاج تبيان أن $R \geq c$ ، وهو ما يمكن إثباته بطريقة مشابهة لما سبق، وذلك متترك للقارئ. ■

مثال 2.1.8 (الدالة الأسية)
إذا اعتبرنا متسلسلة القوى

$$\sum_{n=0}^{\infty} \frac{z^n}{n!}$$

نجده من النظرية السابقة أن

$$R = \lim_{n \rightarrow \infty} \frac{(n+1)!}{n!} = \lim_{n \rightarrow \infty} n + 1 = \infty$$

وعليه فإن المتسلسلة متقاربة على كامل المركب. وبالتالي فإن الدالة الأسية

$$e^z = \exp z = \sum_{n=0}^{\infty} \frac{z^n}{n!}$$

معرفة على كامل المركب. لاحظ أنه لـ $\forall z_1, z_2 \in \mathbb{C}$ لنا

صيغة أويلر. نعلم من دراستنا السابقة لمفكوك تايلور في الحقيقي أنه لـ $\forall x \in \mathbb{R}$ لنا

$$\cos x = \sum_{n=0}^{\infty} \frac{(-1)^n x^{2n}}{(2n)!}, \quad \sin x = \sum_{n=0}^{\infty} \frac{(-1)^n x^{2n+1}}{(2n+1)!}$$

ومن ذلك نجد أنه لـ $\forall \theta \in \mathbb{R}$

$$\begin{aligned} e^{i\theta} &= \sum_{n=0}^{\infty} \frac{(i\theta)^n}{n!} \\ &= \sum_{n=0}^{\infty} \frac{(i\theta)^{2n}}{2n!} + \sum_{n=0}^{\infty} \frac{(i\theta)^{2n+1}}{(2n+1)!} \\ &= \cos \theta + i \sin \theta \end{aligned}$$

ويال التالي إذا كان $z = r(\cos \theta + i \sin \theta)$ عدد مركب، فإن $z = re^{i\theta}$ وهذه هي صيغة أويلر للعدد المركب الذي سعته θ ومقيسه r .

ملاحظة 2.1.9 فيما يلي نورد بعض الملاحظات على الدالة الأساسية:

1. مدى الدالة الأساسية هو \mathbb{C}^* . ذلك أنه لكل $w \in \mathbb{C}^*$ فإن بوضع $z = \ln r + i\theta$ نجد أن $e^z = w$. كما أن

$$|e^z| = |e^{x+iy}| = |e^x| |e^{iy}| = e^x > 0.$$

2. الدالة الأساسية في الحقيقي تكون تنازلاً أحادي، وبالتالي فإن لها معكوس وهو اللوغاريتم الطبيعي. إلا أنها ليست كذلك في المركب. في الواقع إذا كان $z_1, z_2 \in \mathbb{C}$ فإن

$$e^{z_1} = e^{z_2} \Leftrightarrow z_1 = z_2 + 2k\pi i, \quad k \in \mathbb{Z}$$

بعد دراستنا للدالة الأساسية، سننتقل الآن لتعريف الدوال المثلثية في المركب، فنعرفها لـ كل $z \in \mathbb{C}$ كما يلي

$$\cos z = \frac{e^{iz} + e^{-iz}}{2}, \quad \sin z = \frac{e^{iz} - e^{-iz}}{2i}$$

ونلاحظ من التعريف أن

$$\cos z = 0 \Leftrightarrow e^{iz} + e^{-iz} = 0 \Leftrightarrow e^{2iz} = -1 = e^{i\pi} \Leftrightarrow z = \frac{\pi}{2} + k\pi, \quad k \in \mathbb{Z}$$

وبنفس الطريقة، نجد أن

$$\sin z = 0 \Leftrightarrow z = k\pi, \quad k \in \mathbb{Z}$$

تعيين اللوغاريتم. هدفنا الآن هو تعريف دالة f تتحقق أن

$$e^{f(z)} = z$$

لاحظ من خواص الدالة الأساسية فإن الدالة المنشودة f لن تكون معرفة عند الصفر. لو افترضنا التعريف التالي

$$\log(z) = \ln|z| + i\operatorname{Arg}(z)$$

سنجد أن

$$e^{\log(z)} = e^{\ln|z| + i\operatorname{Arg}(z)} = e^{\ln|z|} * e^{i\operatorname{Arg}(z)} = |z| e^{i\operatorname{Arg}(z)} = z$$

تعريف 2.1.10 ليكون Ω مفتوح من المركب. نقول أن الدالة f تعين اللوغاريتم على Ω إذا وفقط إذا كانت f دالة متصلة على Ω وتحقق أن

$$\forall z \in \Omega, \quad e^{f(z)} = z. \quad (2.1.1)$$

مثال 2.1.11 الدالة $z \log z$ تتحقق الخاصية (2.1.1) على \mathbb{C}^* إلا أنها غير متصلة على هذا الحال، ولكن تكون متصلة وحسب نزع جميع الأعداد السالبة، وعندها يكون $\log z$ تعين اللوغاريتم على $\mathbb{C} \setminus \mathbb{R}^-$ ونسميه التعين الأساسي للوغاريتم نسبة للسعة الأساسية المستخدمة في التعريف.

لاحظ أنه لـ كل $\alpha \in \mathbb{R}$ بالإمكان أن نعرف تعين اللوغاريتم (z) على المجموعة $\{te^{ia} : t \geq 0\}$ ، وذلك بتعريف

$$\log_\alpha(z) = \ln|z| + i\operatorname{Arg}_\alpha(z)$$

حيث $\operatorname{Arg}_\alpha$ هي سعة العدد المركب التي تتنمي للفترة $[a, a + 2\pi]$.

نظريّة 2.1.12 (العلاقة بين تعبيّنات اللوغاريتم على نطاق) ليكن Ω نطاق من \mathbb{C} وليكن f, g تعبيّنات اللوغاريتم على Ω ، فإنّه يوجد $k \in \mathbb{Z}$ بحيث

$$\forall z \in \Omega, f(z) = g(z) + 2k\pi i$$

من النظريّة السابقة يتبيّن لنا أن أي تعبيّن للوغاريتم على $\mathbb{C} \setminus \mathbb{R}^-$ يكون على الصورة $\log z + 2k\pi i$. كما نستنتج أنه لا يوجد تعبيّن للوغاريتم على \mathbb{C}^* . (لماذا؟!)

برهان ليكن $\Omega \subset \mathbb{C}$. حيث أن f, g تعبيّنات اللوغاريتم، فإن

$$e^{f(z)} = e^{g(z)} = z \Rightarrow \exists k(z) \in \mathbb{Z}, f(z) = g(z) + 2k(z)\pi i$$

بقي أن نبيّن أن $k(z)$ ثابتة على Ω . لكن

$$k(z) = \frac{f(z) - g(z)}{2\pi i}$$

هي دالة متصلة كون f, g كذلك، وعليه فإن $k(\Omega)$ متراطط من \mathbb{Z} كصورة لمترابط بدالة متصلة. وبالتالي فإن $k(z)$ ثابتة. ■

2.2 الاشتقاء وقابلية التفاضل

بعد دراستنا لبعض الدوال من خلال مسلسلات القوى وتعبيّن اللوغاريتم، نجد أنفسنا في حالة جيدة لدراسة الدوال التحليلية.

تعريف 2.2.1 ليكن f دالة معرفة على مفتوح Ω من المركب. نقول أن f قابلة للاشتقاء عند $\Omega \ni a$ إذا وفقط إذا كانت

$$\lim_{h \rightarrow 0} \frac{f(a+h) - f(a)}{h} = \lim_{z \rightarrow a} \frac{f(z) - f(a)}{z - a}$$

موجودة. وعندها نرمز لتلك النهاية بالرمز $(f'(a))$. إذا كانت f قابلة للاشتقاء عند جميع نقاط Ω فإننا نقول أن f تحليلية على Ω .

لاحظ أن قابلية اشتقاء الدالة f عند a تقتضي وجود دالة $\varepsilon(h) \rightarrow 0$ بحيث

$$f(a+h) - f(a) = h\varepsilon(h) + hf'(a)$$

ومن ذلك نرى أن قابلية الاشتقاء عند نقطة تقتضي اتصال الدالة عند هذه النقطة.

مثال 2.2.2 الدالة $f(z) = z^3$ تحليلية على كامل المركب (كلية). ذلك أنه لكل $z \in \mathbb{C}$

$$\begin{aligned} \lim_{h \rightarrow 0} \frac{(z+h)^3 - z^3}{h} &= \lim_{h \rightarrow 0} \frac{((z+h)-z)((z+h)^2 + (z+h)z + z^2)}{h} \\ &= 3z^2 \end{aligned}$$

مثال 2.2.3 الدالة $f(z) = \bar{z}$ غير قابلة للاشتقاء عند أي نقطة من المركب. في الواقع

$$\lim_{h \rightarrow 0} \frac{\bar{z+h} - \bar{z}}{h} = \lim_{h \rightarrow 0} \frac{\bar{h}}{h}$$

وهذه النهاية غير موجودة، لأنّه لو اعتبرنا $h \in \mathbb{R}$ سنجد أن

$$\lim_{h \rightarrow 0} \frac{\bar{h}}{h} = 1$$

في حين أن

$$\lim_{h \rightarrow 0} \frac{\overline{ih}}{ih} = -1$$

مثال 2.2.4 إذا كانت f تعين للوغراريم على مفتوح Ω ، فإن f تحليلية ولنا $f'(z) = \frac{1}{z}$. في الواقع، إذا كان $w_0 \in \Omega$ ووضعنا $z_0 = e^{w_0}$ فإن $f(z_0) = w_0$ وعندما $z \rightarrow z_0$ تؤول إلى $w \rightarrow w_0$ تكون الدالة f متصلة. وبالتالي فإن

$$\lim_{z \rightarrow z_0} \frac{f(z) - f(z_0)}{z - z_0} = \lim_{w \rightarrow w_0} \frac{e^w - e^{w_0}}{e^w - e^{w_0}} = \frac{1}{e^{w_0}} = \frac{1}{z_0}$$

تذكر أنه إذا كانت E مجموعة مفتوحة من \mathbb{R}^n و $f : E \rightarrow \mathbb{R}^m$ دالة، فإننا f تكون قابلة للتفاضل عند $a \in E$ إذا وفقط إذا وجد مؤثر خطى $A \in L(\mathbb{R}^n, \mathbb{R}^m)$ بحيث

$$\lim_{h \rightarrow 0} \frac{|f(a+h) - f(a) - A(h)|}{|h|} = 0$$

كما أن قابلية التفاضل للدالة f عند النقطة a ستكون مضمونة في حال كانت المشتقات الجزئية لمركبات الدالة f موجودة ومتصلة عند النقطة a . وما سبق التذكير به، نرى أن الدالة $\bar{z} = f(z)$ قابلة للتفاضل عند جميع نقاط المركب على الرغم من أنها غير قابلة للاشتغال، ذلك أن الدالة تعطى بالعلاقة التالية

$$f(x, y) = x - iy = (x, -y)$$

وبوضع $y = 0$ نجد أن $f_1(x, 0) = x$, $f_2(x, 0) = -y$

$$\frac{\partial f_1(x, 0)}{\partial x} = 1, \quad \frac{\partial f_1(x, 0)}{\partial y} = 0, \quad \frac{\partial f_2(x, 0)}{\partial x} = 0, \quad \frac{\partial f_2(x, 0)}{\partial y} = -1$$

ومن هنا نرى أن الدالة قابلة لتفاضل عند جميع قيم $z = (x, y)$ وتفاضلها هو المصفوفة

$$A = \begin{bmatrix} 1 & 0 \\ 0 & -1 \end{bmatrix}$$

كما في الحقيقي، فإن قواعد الاشتغال تبقى صحيحة في المركب. وهو ما تنص عليه النظريات التالية.

نظرية 2.2.5 ليكن Ω مفتوح من المركب ولتكن f, g دالتين قابلتين للاشتغال عند $a \in \Omega$ ، فإن الدوال $f+g$, $f-g$, $f*g$ قابلة للاشتغال عند a ولنا

$$(f \pm g)'(a) = f'(a) \pm g'(a), \quad (f * g)'(a) = f'(a) * g(a) + f(a) * g'(a)$$

وإذا كان $g(a) \neq 0$ فإن f/g قابلة للاشتغال عند a ولنا

$$(\frac{f}{g})'(a) = \frac{f'(a) * g(a) - f(a) * g'(a)}{g^2}(a)$$

نظرية 2.2.6 (قاعدة السلسلة)

لتكن f قابلة للاشتغال عند نقطة a من مجموعة مفتوحة Ω ولتكن g دالة معروفة على مفتوح Ω' يحوي النقطة $f(a)$ وقابلة للاشتغال عند هذه النقطة، فإن الدالة $g \circ f$ تكون قابلة للاشتغال عند a ولنا

$$(g \circ f)'(a) = g'(f(a)) f'(a)$$

نظرية 2.2.7 ليكن Ω نطاق من المركب و f دالة تحليلية على Ω إذا كان $f'(z) = 0$ لـ $\forall z \in \Omega$ فإن f دالة ثابتة.

برهان لنفرض أن f قيمها حقيقة. ليكن $\Omega \in A = \{z \in \Omega, f(z) = \alpha\}$ ولنضع $a = f(a)$ و $\alpha = f(a)$. لو بيتنا أن Ω مجموعه مفتوحة ومغلقة، فإن المطلوب سينتتج من كون Ω نطاق. إذا كانت (a_n) متتابعة من A تتقرب إلى عنصر a من Ω ، فإن

$$f(a) = \lim_{n \rightarrow \infty} f(a_n) = \alpha$$

وذلك بفضل اتصال الدالة f . بقي تبيان أن A مفتوحة، ولهذا الغرض، نأخذ $a \in A$ و $0 < \varepsilon > 0$ بحيث $B(a, \varepsilon) \subset \Omega$. ليكن $z \in B(a, \varepsilon)$ ولنعرف الدالة

$$\gamma(t) = (1-t)a + tz, \quad \forall t \in [0, 1]$$

وبوضع الدالة $(g(t)) = f(\gamma(t))$ ، نجد أن

$$\lim_{s \rightarrow t} \frac{g(s) - g(t)}{s - t} = \lim_{s \rightarrow t} \frac{g(s) - g(t)}{\gamma(s) - \gamma(t)} \frac{\gamma(s) - \gamma(t)}{s - t} = f'(\gamma(t)) * \gamma'(t) = 0$$

بالتالي الدالة الحقيقة g ثابتة على $[0, 1]$ ، وعليه فإن $z \in B(a, \varepsilon)$ لـ كل $f(a) = f(z)$ كما أردنا برهانه.

2.3 معادلات كوشي – ريمان

رأينا في القسم السابق أن قابلية التفاضل لا تفضي بالضرورة إلى قابلية الاشتتقاق. وفي هذا القسم نورد معادلات كوشي – ريمان والتي تعتبر المفتاح للغير تلك العلاقة.

نظيرية 2.3.1 إذا كانت $f = u(x, y) + iv(x, y)$ دالة معرفة على مفتوح Ω من المركب، فإن f قابلة للاشتتقاق عند $z_0 = (x_0, y_0)$ إذا وفقط إذا كانت f قابلة للتلفاضل عند z_0 وتحقق معادلات كوشي – ريمان والتي تعطى على الصورة

$$u_x(x_0, y_0) = v_y(x_0, y_0), \quad u_y(x_0, y_0) = -v_x(x_0, y_0)$$

وعندما يكون $f'(z_0) = u_x(x_0, y_0) + iv_x(x_0, y_0)$.

برهان لنفرض أن f قابلة للاشتتقاق عند z_0 وأن $h \in \mathbb{R}$ ، فإن

$$f'(z_0) = \lim_{h \rightarrow 0} \frac{u(x_0 + h, y_0) + iv(x_0 + h, y_0) - (u(x_0, y_0) + iv(x_0, y_0))}{h} = u_x(x_0, y_0) + iv_x(x_0, y_0)$$

من الناحية الأخرى، فإن

$$f'(z_0) = \lim_{ih \rightarrow 0} \frac{u(x_0, y_0 + h) + iv(x_0, y_0 + h) - (u(x_0, y_0) + iv(x_0, y_0))}{ih} = -iu_y(x_0, y_0) + v_y(x_0, y_0)$$

ومن ذلك نجد أن قابلية الاشتتقاق تقتضي تتحقق معادلات كوشي – ريمان. لنفرض الآن أن الدالة f قابلة للتلفاضل وتحقق معادلات كوشي – ريمان. نعلم أن قابلية التفاضل تقتضي وجود المشتقات الجزئية وأن تفاضل f عند النقطة (x_0, y_0) هو

$$Df(x_0, y_0) = \begin{bmatrix} u_x(x_0, y_0) & u_y(x_0, y_0) \\ v_x(x_0, y_0) & v_y(x_0, y_0) \end{bmatrix} = \begin{bmatrix} u_x(x_0, y_0) & -u_x(x_0, y_0) \\ v_x(x_0, y_0) & u_x(x_0, y_0) \end{bmatrix}$$

وإذا كان $h = (h_1, h_2) \in \mathbb{C}$ ، فإن قابلية اشتتقاق f تفضي إلى أن

$$0 = \lim_{h \rightarrow 0} \frac{|f(x_0 + h_1, y_0 + h_2) - f(z_0) - Df(x_0, y_0)(h_1, h_2)|}{|h|} = \lim_{h \rightarrow 0} \frac{|f(z_0 + h) - f(z_0) - h(u_x(z_0) + iv_x(z_0))|}{|h|}$$

وهذا يتضمن أن

$$\lim_{h \rightarrow 0} \frac{f(z_0 + h) - f(z_0)}{h} = u_x(z_0) + i v_x(z_0)$$

أي أن f قابلة للاشتتقاق عند z_0 .

مثال 2.3.2 أوجد مجموعة النقاط التي تكون عندها الدالة $f(x,y) = x^2 - 3y^2 + i(2xy + x^2 + 3x)$ قابلة للاشتتقاق.

الحل

حيث إن المشتقات الجزئية

$$u_x = 2x, \quad u_y = -6y, \quad v_x = 2y + 2x + 3, \quad v_y = 2x$$

موجودة ومتصلة فإن الدالة f قابلة للتفاضل لجميع قيم $\mathbb{C} \ni z$. وبالتالي فمن النظرية السابقة، الدالة تكون قابلة للاشتتقاق عند النقاط التي تحقق معادلات كوشي - ريمان وهي النقاط (x,y) التي تتحقق

$$2x = 2x, \quad -6y = -2y - 2x - 3 \Rightarrow y = \frac{1}{2}x + \frac{3}{4}$$

أي أن f قابلة للاشتتقاق عند جميع نقاط المستقيم $y = \frac{1}{2}x + \frac{3}{4}$ واحتتقانها هو $f'(x,y) = 2x + i(2y + 2x + 3)$

نظرية 2.3.3 ليكن Ω مفتوح من المركب، فإنه يوجد تعين للوغاريت على Ω إذا وفقط إذا وجدت دالة f تحليلية على Ω تتحقق أن

$$f'(z) = \frac{1}{z}, \quad \forall z \in \Omega.$$

برهان ليكن g تعين للوغاريت على Ω فإنه من مثال 2.2.4 نجد أن $\frac{1}{z} = f'(z)$. بقى برهان الاتجاه الآخر. لنفرض أن f دالة تحليلية على Ω وتحقق أن $\frac{1}{z} = f'(z)$ ولنعرف الدالة

$$g(z) = z e^{-f(z)}$$

فنجد أن

$$g'(z) = e^{-f(z)} + z e^{-f(z)} \left(-\frac{1}{z^2} \right) = 0$$

وبالتالي فإن g ستكون ثابتة على كل جزء متراط من Ω . لاحظ أن $0 \neq g$ وذلك من تعريف الدالة f وعليه فإنه يوجد بحسب $g(z) = e^{h(z)}$. الآن الدالة $h(z) = f(z) + \alpha$ حيث $\alpha \in \mathbb{C}$. أي أنها تعين للوغاريت على Ω .

الدوال التوافقية 2.4

تعريف 2.4.1 ليكن Ω مفتوح من \mathbb{C} و $\mathbb{R} \rightarrow \Omega : f$ دالة من صنف C^2 على Ω . نقول أن f دالة توافقية إذا وفقط إذا كان

$$\Delta f = f_{xx} + f_{yy} = 0$$

مثال 2.4.2 الدالة $u(x,y) = 2xy$ دالة توافقية على كامل المركب، ذلك لأن $\Delta u = 0 + 0 = 0$ كذلك الدالة $v(x,y) = x^2 - y^2$ لأن $\Delta v = 2 - 2 = 0$

مثال 2.4.3 إذا كانت $f = u + iv$ دالة تحليلية على مفتوح Ω ، فإن u, v دالتي توافقين على Ω ، وذلك باستخدام معادلات كوشي - ريمان.

لاحظ أننا ساخدمنا في المثال السابق حقيقة أن الدوال التحليلية تكون من صنف C^∞ وهو ما سنقوم ببرهانه لاحقاً.

تعريف 2.4.4 (المرافق التوافقي)

إذا كانت u دالة توافقية على Ω فإننا نقول عن v بأنها مرافق توافقية للدالة u إذا وفقط إذا كانت $f = u + iv$ دالة تحليلية على Ω .

مثال 2.4.5 رأينا فيما سبق أن الدالة $u(x,y) = 2xy$ هي دالة توافقية على كامل المركب. الآن نريد إيجاد مرافق توافقية v للدالة u . بعبارة أخرى نبحث عن v التي يجعل الدالة $f = 2xy + iv$ تحليلية على \mathbb{C} . ولكي تكون f تحليلية، فمن معادلات كوشي - ريمان يجب أن يكون

$$u_x = v_y \Rightarrow 2y = v_y \Rightarrow v_y = y^2 + \phi(x)$$

لـ $u_y = -v_x$ وبالتالي فإن

$$2x = -\phi'(x) \Rightarrow \phi(x) = -x^2 + c, \quad c \in \mathbb{C}$$

إذاً المرافق التوافقي $v(x,y) = y^2 - x^2 + c$.

ملاحظة 2.4.6 المرافق التوافقي ليس بالضرورة أن يكون موجوداً لكل دالة توافقية. فعلى سبيل المثال الدالة $\log|z|^2$ هي توافقية على \mathbb{C}^* إلا أنه لا يوجد لها مرافق توافقية. في الواقع، لو افترضنا وجود مرافق توافقية v للدالة $\log|z|^2$ فإن $f(z) = \log|z|^2 + iv$ ستكون تحليلية على \mathbb{C}^* . أي أن

$$\begin{aligned} f' &= \frac{\partial \log(x^2 + y^2)}{\partial x} + iv_x \\ &= \frac{\partial \log(x^2 + y^2)}{\partial x} - i \frac{\partial \log(x^2 + y^2)}{\partial y} \\ &= 2 \frac{x - iy}{x^2 + y^2} = \frac{2}{z} \end{aligned}$$

أي أن الدالة f مشتقتها $\frac{1}{z}$ وبالتالي من نظرية 2.3.3 يوجد تعين للوغاريت على \mathbb{C}^* وهذا تناقض.

النظرية التالية تعطي الشروط التي تضمن وجود المرافق التوافقي.

نظرية 2.4.7 ليكن $a \in \mathbb{R}$ و $0 < r$ ، إذا كانت u دالة توافقية على $B(a,r)$ فإنه يوجد مرافق توافقية للدالة u .

برهان بدون فقدان العمومية، نعتبر أن $0 = a$. الآن الدالة

$$v(x,y) = \int_0^y u_x(x,t) dt - \int_0^x u_y(s,0) ds$$

تحقق المطلوب.

2.5 تمارين

تمرين 2.5.1 لتكن $(a_n), (b_n)$ مترابعين من \mathbb{R} . أثبت أن

$$\limsup a_n \geq \liminf a_n, \quad \limsup(a_n + b_n) \leq \limsup a_n + \limsup b_n, \quad \liminf(a_n + b_n) \geq \liminf a_n + \liminf b_n$$

تمرين 2.5.2 ليكن a عدد مركب. أوجد نصف قطر تقارب للمتسلسلات التالية.

$$\sum_{n=0}^{\infty} a^n z^n, \quad \sum_{n=0}^{\infty} a^{n^2} z^n, \quad \sum_{n=0}^{\infty} z^{n!}$$

تمرين 2.5.3 أوجد حلول المعادلة

$$e^{2z} + 2e^z - 8 = 0.$$

تمرين 2.5.4 ليكن f تعين للوغراریتم على Ω .

1. أثبت العبارات التالية أو انفها بمثال مضاد:

(a) لكل $z \in \Omega$ فإن $f(z^2) = 2f(z)$

(b) لكل $n \in \mathbb{N}$ فإن $\exp(nf(z)) = z^n$

2. إذا كان $\alpha \in \mathbb{C}$ ، أثبت إنه بوضع

$$z^\alpha = e^{\alpha f(z)},$$

نحصل على دالة تحليلية معرفة على Ω . ثم أوجد قيمة $i(1+i)$.

3. اقترح طريقة لإيجاد المقدار z^α حيث $z \in \mathbb{C}^*, \alpha \in \mathbb{C}$.

تمرين 2.5.5 أثبت أنه إذا كانت f دالة تحليلية على مفتوح Ω من المركب، فإن الدالة $F(z) = \overline{f(\bar{z})}$ تحليلية على $\bar{\Omega}$.

تمرين 2.5.6 أثبت أنه يوجد مراافق توافقي للدالة $\log|z|^2$ على القرص $B(-3, 2)$.

التكامل المركب

3.1 القوس الأملس قطعاً

تعريف 3.1.1 نسمى قوس من \mathbb{C} كل دالة $\gamma : [a, b] \rightarrow \mathbb{C}$ متصلة حيث $\gamma' : [a, b] \rightarrow \mathbb{C}$ متصلة حيث $\gamma'(t) = \lim_{t \rightarrow a^+} \frac{\gamma(a+t) - \gamma(a)}{t}$ و $\gamma' : [a, b] \rightarrow \mathbb{C}$ متصلة حيث $\gamma'(t) = \lim_{t \rightarrow b^-} \frac{\gamma(b-t) - \gamma(b)}{t}$. ونرمز لصورة القوس γ في \mathbb{C} بالرمز γ . إذا كانت γ موجودة لكل $t \in [a, b]$ يسمى قوس أملس (*smooth path*). ونقول عن القوس المتصل γ بأنه أملس قطعاً (*pointwise smooth*) إذا وجدت تقسيمة $a = t_0 < t_1 < \dots < t_n = b$ بحيث على الفترة (t_j, t_{j+1}) القوس γ يتساوى مع قوس أملس معروف على $[t_j, t_{j+1}]$. تسمى $\gamma(a)$ بداية القوس و $\gamma(b)$ نهايته. إذا كانت $\gamma(a) = \gamma(b)$ فإن القوس γ يسمى قوس مغلق.

ملاحظة 3.1.2 المعنى بقابلية اشتتقاق الدالة γ عند أطراف الفترة $[a, b]$ هو وجود النهاية من جهة واحدة، أي أن

$$\gamma'(a) = \lim_{t \rightarrow a^+} \frac{\gamma(a+t) - \gamma(a)}{t}, \quad \gamma'(b) = \lim_{t \rightarrow b^-} \frac{\gamma(b-t) - \gamma(b)}{t}$$

أمثلة 3.1.3 في ما يلي نعطي بعض الأمثلة على أقواس ملساء قطعاً.

- الدائرة التي مرکزها $z_0 \in \mathbb{C}$ ونصف قطرها $r > 0$ والتي نرمز لها بالرمز $\gamma_{(z_0, r)}$ تعطى بالعلاقة التالية:

$$\begin{aligned}\gamma_{(z_0, r)} : [0, 2\pi] &\longrightarrow \mathbb{C} \\ \gamma(t) &= re^{it}\end{aligned}$$

لاحظ أن القوس $\gamma_{(z_0, r)}$ أملس ومغلق.

- القطعة $[A, B]$ حيث $A, B \in \mathbb{C}$ أعداد مركبة، تعطى بالعلاقة التالية

$$\begin{aligned}\gamma_{[A, B]} : [a, b] &\longrightarrow [A, B] \\ \gamma_{[A, B]}(t) &= \frac{(b-t)A + (t-a)B}{b-a}\end{aligned}$$

عندما $\gamma_{[A, B]}(t) = (1-t)A + tB$ فإن $a = 0, b = 1$.

• ليكن Γ معرف كما يلي:

$$\Gamma(t) = \begin{cases} e^{it} & , 0 \leq t \leq \pi \\ \frac{2t-3\pi}{\pi} & , \pi \leq t \leq 2\pi \end{cases}$$

نلاحظ أن Γ هو النصف العلوي لدائرة الوحدة اتحاد القطعة $[1, -1]$ وبالتالي هو ليس بقوس أملس (لوجود انكسار عند $t = \pi$) ولكنه قوس أملس قطعاً ومغلق.

لاحظ أن تطابق صوري قوسين γ_1 و γ_2 لا يعني بالضرورة أن لهما نفس الخصائص. فعلى سبيل المثال إذا اعتربنا الفترة $[0, 2\pi]$ فإن القوسين

$$\gamma_{(0,1)}(t) = e^{it}, \quad \gamma_{n(0,1)}(t) = e^{int}, n \in \mathbb{N}$$

لهما نفس الصورة على الرغم من أن $\gamma_{(0,1)}$ أحادية على الفترة $(0, 2\pi)$ بينما $\gamma_{n(0,1)}$ ليست كذلك. سنبين أثر هذا الاختلاف لاحقاً عندما ندرس دليل القوس المعلق والأملس قطعاً.

3.2 التكامل على القوس

تعريف 3.2.1 ليكن $\mathbb{C} \rightarrow [a, b] : \gamma$ قوس أملس قطعاً فإن طول γ والذي نرمز إليه بالرمز L_γ هو

$$L_\gamma = \int_a^b |\gamma'(t)| dt$$

$$\text{مثال 3.2.2 } L_{\gamma_{(0,1)}} = \int_0^{2\pi} |nie^{int}| dt = 2n\pi \text{ بينما } L_{\gamma_{(0,1)}} = \int_0^{2\pi} |ie^{it}| dt = 2\pi$$

مثال 3.2.3 اعتبر القوس Γ كما في المثال 3.1.3 ، نجد أن

$$L_\Gamma = \int_0^\pi |ie^{it}| dt + \int_\pi^{2\pi} \left| \frac{2}{\pi} \right| dt = \pi + 2$$

تعريف 3.2.4 ليكن $\mathbb{C} \rightarrow [a, b] : \gamma$ قوس أملس قطعاً و f دالة متصلة على γ^* فإن تكامل الدالة f على γ يعرف كالتالي

$$\int_\gamma f(z) dz = \int_a^b f(\gamma(t)) \gamma'(t) dt$$

مثال 3.2.5 إذا كانت $f(z) = \frac{1}{z}$ و $r > 0$ فإن

$$\int_{\gamma_{(0,r)}} f(z) dz = \int_0^{2\pi} \frac{1}{re^{it}} ire^{it} dt = 2\pi i$$

من ناحية أخرى نجد أن

$$\int_{\gamma_{(0,r)}} f(z) dz = \int_0^{2\pi} \frac{1}{re^{nit}} nire^{nit} dt = 2n\pi i$$

مثال 3.2.6 إذا كانت $f(z) = z$ و $A, B \in \mathbb{C}$ فإن

$$\begin{aligned} \int_{\gamma_{[A,B]}} f(z) dz &= \int_0^1 ((1-t)A + tB)(B-A) dt \\ &= (B-A) \left[At + \frac{t^2}{2}(B-A) \Big|_0^1 \right] = \frac{1}{2}(B^2 - A^2) \end{aligned}$$

نظيرية 3.2.7 ليكن $\mathbb{C} \rightarrow [a, b] : \gamma$ قوس أملس قطعاً و f دالة تحويلية على مفتوح يحوي γ^* فإن

$$\int_\gamma f'(z) dz = f(\gamma(b)) - f(\gamma(a))$$

برهان من النظيرية الأساسية للتفاضل والتكامل نجد أن

$$\int_\gamma f'(z) dz = \int_a^b f'(\gamma(t)) \gamma'(t) dt = \int_a^b [f \circ \gamma]'(t) dt = f(\gamma(b)) - f(\gamma(a))$$



ملاحظة 3.2.8 في برهان النظرية السابقة استخدمنا أن f' متصلة دون أن نبرهن ذلك. لاحقاً سنبين أن الدوال التحليلية تكون قابلة للاشتقاق مala نهاية من المرات، وإلى ذلك الحين سنشتخدم هذه الحقيقة.

تطبيقات على نظرية 3.2.7

1.1 . لتكن $f(z) = e^z - e^A$ فإن $\int_{\gamma_{[A,B]}} e^z dz = e^B - e^A$

2. علاوة على الشروط في النظرية إذا كان γ مغلق فإن $\int_{\gamma} f'(z) dz = 0$ وبالتالي نرى أنه لا يوجد فرع دالة لوغاريمية على أي مفتوح يحوي دائرة $\gamma_{(0,r)}$. لأنه لو وجد هذا الفرع للوغاريم لكان

$$\int_{\gamma_{(0,r)}} f'(z) dz = 0$$

من ناحية أخرى وحيث أن $\frac{1}{z}$ فإنه كما رأينا في الأمثلة السابقة

$$\int_{\gamma_{(0,r)}} \frac{1}{z} dz = 2\pi i \neq 0$$

وهذا تناقض.

مثال 3.2.9 ليكن γ_1 و γ_2 أي أن القوسين لهم نفس البداية والنهاية. الآن نقوم بحساب التكاملات التالية

$$\int_{\gamma_1} zdz, \int_{\gamma_2} zdz, \int_{\gamma_1} \bar{z} dz, \int_{\gamma_2} \bar{z} dz$$

لاحظ أن $\gamma_1 = [0, 1+i]$ وبالتالي فإن

$$\int_{\gamma_1} zdz = \frac{(1+i)^2}{2} = i$$

وباستخدام التعريف نجد أن

$$\begin{aligned} \int_{\gamma_2} zdz &= \int_0^1 (t + it^2)(1 + 2it) dt \\ &= \int_0^1 t + 3it^2 - 2t^3 dt = i \end{aligned}$$

مرة أخرى نستخدم التعريف لحساب التكاملين المتبقين، فنحصل على

$$\int_{\gamma_1} \bar{z} dz = \int_0^1 (t - it)(1 + i) dt = (1 + i) \frac{1 - i}{2} = 1$$

بينما

$$\int_{\gamma_2} \bar{z} dz = \int_0^1 (t - it^2)(1 + 2it) dt = \int_0^1 t + it^2 + 2t^3 dt = 1 + \frac{i}{3}$$

العبرة من المثال السابق.

رأينا أن في المثال أعلاه أن $\int_{\gamma_1} zdz = \int_{\gamma_2} zdz$ وذلك لأن الدالة $f(z) = \frac{z^2}{2}$ لها أصل في \mathbb{C} وبتطبيق نظرية 3.2.7 يتضح لنا سبب تساوي التكاملين. من جهة أخرى وجدنا أن $\int_{\gamma_1} \bar{z} dz \neq \int_{\gamma_2} \bar{z} dz$ وذلك لأن الدالة \bar{z} ليس لها أصل في على الرغم من كونها دالة متصلة. فلو افترضنا وجود دالة تحليلية $F(z) = U(x,y) + iV(x,y)$ بحيث

$$F'(z) = \frac{\partial U}{\partial x}(x,y) + i \frac{\partial V}{\partial x}(x,y) = \bar{z} = x - iy$$

فإنه من معادلات كوشي-ريمان نجد أن

$$\frac{\partial U}{\partial x} = x, \quad \frac{\partial U}{\partial y} = y \implies \frac{\partial^2 U}{\partial x^2} + \frac{\partial^2 U}{\partial y^2} = 2$$

أي أن الدالة U ليست توافقية، وهذا يتناقض مع كون F دالة تحليلية. وهنا يتجلّى لنا أحد الفروق بين المركب وال الحقيقي. ففي الحقيقي كل دالة f متصلة على $\mathbb{R} \subset [a, b]$ يوجد لها أصل F بحيث لكل $x \in (a, b)$ فإن $F'(x) = f(x)$ وذلك بوضع $F(x) = \int_a^x f(t)dt$.

نظرية 3.2.10 (بعض خصائص التكامل)
ليكن $\gamma : [a, b] \rightarrow \mathbb{C}$ قوس أملس قطعياً و f, g دالتين متصلتين على γ^* و $\alpha, \beta \in \mathbb{C}$ ، فإن

$$\int_{\gamma} (\alpha f(z) + \beta g(z)) dz = \alpha \int_{\gamma} f(z) dz + \beta \int_{\gamma} g(z) dz . \quad 1 . 1$$

$\gamma^-(t) = \gamma(a + b - t)$ حيث γ^- هو القوس المعاكس للقوس γ والمعرف بالعلاقة $\int_{\gamma} f(z) dz = - \int_{\gamma^-} f(z) dz . \quad 2 . 2$

$$\left| \int_{\gamma} f(z) dz \right| \leq \int_{\gamma} |f(z)| dz \leq \sup_{z \in \gamma^*} |f(z)| L_{\gamma} . \quad 3 . 3$$

برهان سنتبّت الفقرة 3 ونترك الفقرتين 1 و 2 كتمرين. ليكن $\int_{\gamma} f(z) dz = re^{i\theta}$. إذًا

$$\begin{aligned} \left| \int_{\gamma} f(z) dz \right| &= r = \int_{\gamma} e^{-i\theta} f(z) dz \\ &= \int_a^b Re(e^{-i\theta} f(\gamma(t)) \gamma'(t)) dt \\ &\leq \int_a^b |f(\gamma(t)) \gamma'(t)| dt \\ &\leq \sup_{t \in [a, b]} |f(\gamma(t))| L_{\gamma} \end{aligned}$$

3.3 دليل الأقواس المغلقة

مفهوم الدليل هو أحد المفاهيم المهمة في التحليل المركب، وسنرى استخداماته عندما ندرس الصيغة العامة لتكامل كوشي وكذلك نظرية الباقي، وفي هذا الفصل نورد تعريف الدليل وأهم خواصه.

تعريف 3.3.1 ليكن γ قوس أملس قطعياً ومغلقاً و $\gamma^* \in \mathbb{C} \setminus \gamma$ فإن دليل القوس γ بالنسبة للعنصر z_0 هو

$$I(\gamma; z_0) = \frac{1}{2\pi i} \int_{\gamma} \frac{dz}{z - z_0}$$

مثال 3.3.2 ليكن $\gamma_{n(z_0, 1)}(t) = z_0 + e^{int}$ ، $0 \leq t \leq 2\pi$ و $n \in \mathbb{N}$ ، فإن

$$I(\gamma_{n(z_0, 1)}, z_0) = \frac{1}{2\pi i} \int_{\gamma_{n(z_0, 1)}} \frac{dz}{z - z_0} = \frac{1}{2\pi i} \int_0^{2\pi} n idt = n$$

بنفس الطريقة نجد أن

$$I(\gamma_{n(z_0, 1)}^-, z_0) = -n$$

من المثال السابق يبدو لنا وكأن الدليل هو عبارة عن عدد اللفات التي يصنعها القوس حول z_0 بإشارة موجبة عندما يكون الدوران باتجاه الطواف وإشارة سالبة عندما يكون عكسه. النظرية التالية تؤكد هذا الفهم للدليل.

نظرية 3.3.3 إذا كان $\gamma : [a, b] \rightarrow \mathbb{C} \setminus \gamma^*$ قوس أملس قطعاً ومغلق، فإن الدالة $I(\gamma, z) = \int_a^b \frac{\gamma'(t)}{\gamma(t) - z} dt$ متصلة على $\mathbb{C} \setminus \gamma^*$.

برهان ليكن $z_0 \in \mathbb{C} \setminus \gamma^*$ ، ولتكن $\alpha = d(z_0, \gamma^*) < \frac{\delta}{4}$. فإذا كان $|z - \gamma(t)| > \frac{\delta}{4}$ ، $\forall t \in [a, b]$

$$|z - \gamma(t)| > \frac{\delta}{4}, \quad \forall t \in [a, b]$$

ولنا

$$\begin{aligned} |I(\gamma; z) - I(\gamma; z_0)| &\leq \int_a^b \frac{|z_0 - z|}{|(\gamma(t) - z)(\gamma(t) - z_0)|} |\gamma'(t)| dt \\ &\leq |z - z_0| \frac{\delta^2}{16} L_\gamma \end{aligned}$$

وبالتالي فإن الدالة $I(\gamma; z)$ متصلة على $\mathbb{C} \setminus \gamma^*$. ■

نظرية 3.3.4 ليكن $\gamma : [a, b] \rightarrow \mathbb{C} \setminus \gamma^*$ قوس أملس قطعاً ومغلق فإنه لكل $z \in \mathbb{C} \setminus \gamma^*$ يكون $I(\gamma, z)$ وهو ثابت على كل جزء متراط من γ^* ويكون صفرأً على الجزء المتراط غير المحدود من γ^* .

برهان ليكن $\gamma : [a, b] \rightarrow \mathbb{C} \setminus \gamma^*$ قوس أملس قطعاً ومغلق وليكن g الدالة على الفترة $[a, b]$ كما يلي

$$g(x) = \int_a^x \frac{\gamma'(t)}{\gamma(t) - z} dt$$

لاحظ أن الدالة g متصلة وتحقق أن $g(a) = 0$ و $g(b) = 2\pi i I(\gamma, z)$ وأن $g'(s) = e^{g(s)}$. الآن نضع $\psi(x) = e^{g(x)}$ من الواضح أن هذه الدالة قابلة للاشتتقاق عند كل نقطة تكون فيها الدالة γ' متصلة ولنا

$$\psi'(s) = g'(s)e^{g(s)} = \frac{\gamma'(s)}{\gamma(s) - z}\psi(s)$$

وبالتالي نجد أن

$$\left(\frac{\psi(s)}{\gamma(s) - z} \right)' = \frac{\psi'(s)(\gamma(s) - z) - \gamma'(s)\psi(s)}{(\gamma(s) - z)^2} = 0$$

أي أن الدالة $\frac{\psi(x)}{\gamma(x) - z}$ هي ثابتة على كل فترة تكون عليها الدالة γ' متصلة وبما أن γ قوس أملس قطعاً فإنه توجد تقسيمة (لماذا؟!). بقى أن نبين أنه الدليل يساوي الصفر على الجزء المتراط غير المحدود وهذا واضح لأنه ثابت على هذا الجزء المتراط وبالتالي

$$\frac{\psi(a)}{\gamma(a) - z} = \frac{\psi(x_1)}{\gamma(x_1) - z} = \dots = \frac{\psi(b)}{\gamma(b) - z}$$

و بما أن $\gamma(a) = \gamma(b)$ فإن

$$\psi(a) = \psi(b) \Rightarrow 1 = e^{2\pi i I(\gamma, z)}$$

وهذا يقتضي أن $I(\gamma, z) = 0$ وهو ثابت على كل جزء متراط من γ^* لأن الدالة $I(\gamma, z) = \int_a^b \frac{\gamma'(t)}{\gamma(t) - z} dt$ متصلة على $\mathbb{C} \setminus \gamma^*$ وبالتالي

$$I(\gamma, z) = \lim_{z \rightarrow \infty} \frac{1}{2\pi i} \int_a^b \frac{\gamma'(t)}{\gamma(t) - z} dt = 0$$

■

ملاحظة 3.3.5 إذا كان γ كما في النظرية السابقة فإن الجزء المترابط الغير محدود يكون وحيداً وذلك لأن γ^* متراص كصورة للمتراس $[a, b]$ بالدالة المتصلة γ وبالتالي يوجد $R > 0$ بحيث $\gamma^* \subset B(0, R)$ وبما أن $\mathbb{C} \setminus B(0, R)$ متراط ينتمي للجزء المترابط الغير محدود فإن الجزء المترابط غير المحدود يكون وحيداً.

مثال 3.3.6 ليكن γ كالتالي

$$\gamma(t) = \begin{cases} 1 + e^{2it} & , 0 \leq t \leq \frac{\pi}{2} \\ -1 + e^{-4i(t-\frac{\pi}{2})} & , \frac{\pi}{2} \leq t \leq \pi \\ 1 + e^{it} & , \pi \leq t \leq 2\pi \end{cases}$$

لاحظ أن $\gamma^* = \gamma_{(1,1)}^* \cup \gamma_{(-1,1)}^*$ وبتطبيق النظرية السابقة نجد أن

$$I(\gamma, \frac{1}{2}) = 1, \quad I(\gamma, -1 - \frac{i}{2}) = -1, \quad I(\gamma, -5) = I(\gamma, 2012i) = 0$$

نظريّة كوشي 3.4

هذا القسم يتناول نظرية كوشي وستدرج في ذلك من الصورة البسيطة إلى الصورة العامة.

نظريّة 3.4.1 (نظرية كوشي)
لتكن f دالة تحليلية على مفتوح يحوي $\overline{B}(a, r)$. فإن

$$\int_{\gamma(a,r)} f(z) dz = 0$$

برهان لتكن $f(z) = u(x, y) + iv(x, y)$. حيث أن الدالة f تحليلية إذاً المشتقات الجزئية u_x, u_y, v_x, v_y موجودة ومتصلة وتحقق $u_x = v_y, u_y = -v_x$ (معادلات كوشي-ريمان). وبالتالي من نظرية جرين نجد أن

$$\int_{\gamma(a,r)} u(x, y) dx - v(x, y) dy = \int \int_{B(a,r)} (-v_x - u_y) dx dy = 0$$

بالمثل نجد أن

$$\int_{\gamma(a,r)} v(x, y) dx + u(x, y) dy = \int \int_{B(a,r)} (u_x - v_y) dx dy = 0$$

وبذلك نتحصل على المطلوب لأن

$$\begin{aligned} \int_{\gamma(a,r)} f(z) dz &= \int_{\gamma(a,r)} (u + iv)(dx + idy) \\ &= \int_{\gamma(a,r)} u(x, y) dx - v(x, y) dy + i \int_{\gamma(a,r)} v(x, y) dx + u(x, y) dy \end{aligned}$$

■

مثال 3.4.2 لتكن $f(z) = z^2, g(z) = \frac{\sin z}{z+2}$ بتطبيق نظرية كوشي نجد أن

$$\int_{\gamma(0,1)} z^2 dz = 0$$

وذلك لأن الدالة z^2 تحليلية على كامل \mathbb{C} . بالمثل يكون لنا

$$\int_{\gamma(0,1)} \frac{\sin z}{z+2} dz = 0$$

لأن $\frac{\sin z}{z+2}$ تحليلية على $\{z \in \mathbb{C} \setminus \Omega\}$ وبالتالي يمكن إيجاد مجموعة مفتوحة Ω تحوي $(0, 1) \setminus \bar{B}$ بحيث تكون الدالة $\frac{\sin z}{z+2}$ تحليلية. لكن لا يمكن تطبيق نظرية كوشي لحساب التكامل

$$\int_{\gamma(0,2)} \frac{3z^6}{z-1} dz$$

كون الدالة $\frac{3z^6}{z-1}$ ليست تحليلية على $B(0, 2)$ لأن العنصر $1 \in B(0, 2)$, وسوف نتناول لاحقاً كيفية التعامل مع هكذا تكاملات عندما ندرس صيغ كوشي التكاملية.

الآن نقوم بإثبات مجموعة من النظريات والتي من شأنها أن تمهد لنا الطريق للوصول إلى نظرية كوشي في صيغتها العامة.

نظرية 3.4.3 لتكن f دالة تحليلية على مفتوح Ω من \mathbb{C} و Δ مثلث من Ω بحيث داخلية Δ محتواه في Ω فإن

$$\int_{\Delta} f(z) dz = 0$$

برهان لنفرض أنه يوجد $a > 0$ بحيث

$$\left| \int_{\Delta} f(z) dz \right| = a$$

ليكن محيط المثلث Δ يساوي L , نقوم بتوصيل أضلاع المثلث فنحصل على أربعة مثلثات وبالتالي فإنه على أحد هذه المثلثات ولتكن Δ_1 يكون

$$\left| \int_{\Delta_1} f(z) dz \right| \geq \frac{1}{4} \left| \int_{\Delta} f(z) dz \right|, \quad L(\Delta_1) = \frac{L}{2}$$

نستمر بهذه الطريقة فنبني متتابعة من المثلثات $(\Delta_n)_{n \in \mathbb{N}}$ تتحقق

$$\left| \int_{\Delta_n} f(z) dz \right| \geq \frac{1}{4} \left| \int_{\Delta_{n-1}} f(z) dz \right| \geq \dots \geq \frac{1}{4^n} \left| \int_{\Delta} f(z) dz \right|, \quad L(\Delta_n) = \frac{L}{2^n}$$

وحيث أن $(\Delta_n)_{n \in \mathbb{N}}$ هي متتابعة منمجموعات متراصة تتحقق أن

$$\Delta_1 \supset \Delta_2 \supset \dots \supset \Delta_n \supset \dots, \quad \lim_{n \rightarrow \infty} L(\Delta_n) = 0$$

فإنه توجد نقطة وحيدة z_0 بحيث $\cap_{n \in \mathbb{N}} \Delta_n = \{z_0\}$. وبما أن f تحليلية على Ω فإنه توجد دالة O تتحقق أن $O(z - z_0) = 0$ تتحقق أن

$$f(z) = f(z_0) + f'(z_0)(z - z_0) + (z - z_0)O(z - z_0)$$

وبالتالي

$$\frac{a}{4^n} \leq \left| \int_{\Delta_n} f(z) dz \right| = \left| \int_{\Delta_n} f(z_0) + f'(z_0)(z - z_0) + (z - z_0)O(z - z_0) dz \right|$$

لكن الدالة $f(z_0) + f'(z_0)(z - z_0)$ هي كثيرة حدود أي أن لها أصل وعليه فإن

$$\int_{\Delta_n} f(z_0) + f'(z_0)(z - z_0) dz = 0$$

من ناحية أخرى وباستخدام نظرية 3.2.10 نجد أن

$$\left| \int_{\Delta_n} (z - z_0)O(z - z_0) dz \right| \leq \frac{L}{2^n} \frac{L}{2^n} \sup_{z \in \Delta_n} |O(z - z_0)|$$

أي أن

$$\frac{a}{L^2} \leq \sup_{z \in \Delta_n} |O(z - z_0)|$$

وهذا يتناقض مع كون $a > 0$ لأن

$$\limsup_{n \rightarrow \infty} \sup_{z \in \Delta_n} |O(z - z_0)| = 0$$

مثال 3.4.4 الشرط على داخليّة المثلث في النظريّة السابقة هو شرط أساسى فعلى سبيل المثال الدالة $f(z) = \frac{1}{z}$ دالة تحليلية على \mathbb{C}^* ولكن على المثلث $\Delta_1 = [-1 - i, 1 - i, i]$ نجد أن

$$\int_{\Delta_1} \frac{1}{z} dz = 2\pi i I(\Delta_1, 0) = 2\pi i \neq 0$$

وهذا لا يتناقض مع النظريّة لأن النقطة صفر تنتهي لداخلية المثلث Δ_1 , بينما على المثلث $\Delta_2 = [1, 2, 1 + i]$ فإن

$$\int_{\Delta_2} \frac{1}{z} dz = 0$$

لأن داخليّة المثلث Δ_2 محتواه في \mathbb{C}^*

نظريّة 3.4.5 (نظريّة موريما)

لتكن f دالة متصلة على نطاق (مفتوح ومترابط) Ω بحيث تكاملها على كل مثلث من Ω يساوي صفر فإن f تكون تحليلية.

برهان لاحظ أن f على Ω إذا كانت تحليلية على كل قرص محتوى في Ω وبالتالي يكفي أن نبرهن النظريّة عندما $\Omega = B(a, r)$.

$$F(z) = \int_{[a,z]} f(w) dw, \quad \forall z \in B(a, r)$$

ليكن $h \in \mathbb{C}$ بحيث يكون المثلث $\Delta = [a, z, z + h]$ محتوى في $B(a, r)$. حيث أن

$$0 = \int_{\Delta} f(w) dw = \int_{[a,z]} f(w) dw + \int_{[z,z+h]} f(w) dw + \int_{[z+h,a]} f(w) dw$$

فإن

$$F(z + h) - F(z) = \int_{[z,z+h]} f(w) dw = h \int_0^1 f(z + th) dt$$

وبالتالي يكون

$$\begin{aligned} \left| \frac{F(z + h) - F(z)}{h} - f(z) \right| &= \left| \int_0^1 f(z + th) - f(z) dt \right| \\ &\leq \sup_{t \in [0,1]} |f(z + th) - f(z)| \end{aligned}$$

الآن بأخذ النهاية عندما h تؤول إلى الصفر ينبع أن $f'(z) = f(z)$. أي أن الدالة f تحليلية على $B(a, r)$.

ملاحظة 3.4.6 لاحظ أنه في النظريّة السابقة لو كان Ω عبارة عن قرص فإن النتيجة ستكون أقوى بأن تكون الدالة f لها أصل وهو F كما تم تعريفه في البرهان. بصورة عامة، ليس من الضروري أن يكون للدالة f أصل حتى لو حققت شروط النظريّة 3.4.5. (أعط مثالاً على ذلك؟!)

النتيجة التالية تعطي الشرط اللازم والضروري لوجود أصل للدالة المتصلة.

نظريه 3.4.7 لنكن f دالة متصلة على نطاق Ω من \mathbb{C} , فإن f لها أصل إذا وفقط إذا كان تكامل الدالة f على كل قوس أملس قطعاً ومغلق من Ω مساوياً للصفر.

برهان لنفرض أن الدالة المتصلة f لها أصل. نجد أن المطلوب ينبع مباشرةً من نظرية 3.2.7. وهذا يرهن الاتجاه الأول. لبرهان الاتجاه الآخر ستبعد نفس الفكرة الواردة في برهان نظرية 3.4.5. ليكن $\Omega \in a$ ولعرف F كما يلي

$$F(z) = \int_{\gamma(a,z)} f(w) dw, \quad \forall z \in \Omega$$

حيث $\gamma(a,z)$ قوس أملس قطعاً يصل بين العنصرين a و z في Ω . لاحظ أن F هي دالة حسنة التعريف، وذلك لضمان وجود القوس $\gamma(a,z)$ كون Ω نطاق. كما أنه لو وجد قوس آخر $\gamma'(a,z)$ يربط العنصرين a و z ، فإن القوس $\gamma(a,z) \cup \gamma'(a,z)$ هو قوس أملس قطعاً ومغلق من Ω . وبالتالي فإن المعطيات في النظرية ستفضي إلى أن

$$\int_{\gamma} f(w) dw = 0 \Rightarrow \int_{\gamma(a,z)} f(w) dw = \int_{\gamma'(a,z)} f(w) dw$$

ليكن $h \in \mathbb{C}$ بحيث تكون القطعة $[z+h, z]$ محتواة في Ω . والآن بأخذ القوس $\gamma(a,z+h) \cup \gamma^-(a,z+h)$ ، نجد أن

$$\int_{\gamma} f(w) dw = 0 \Rightarrow F(z+h) - F(z) = \int_{[z,z+h]} f(w) dw$$

وبنفس الطريقة كما برهان نظرية موريما نجد أن $F'(z) = f(z)$.

رأينا سابقاً أن الدالة التحليلية على نطاق ليس بالضرورة أن يكون لها أصل على مجال تعريفها. وفيما يلي نورد مفهوم المجموعة بسيطة الترابط والذي يعتبر مفتاح لغز العلاقة بين الدوال التحليلية وجود الأصل لهذه الدوال.

تعريف 3.4.8 نقول عن مجموعة متراقبة $\Omega \subset \mathbb{C}$ بأنها بسيطة الترابط إذا وفقط إذا كان لكل قوس أملس قطعاً ومغلق γ من Ω تكون الأجزاء المترابطة المحدودة من γ محتواه في Ω .

مثال 3.4.9 المجموعتان \mathbb{C}^* و $(\frac{1}{2}, 1) \setminus B(0, 2)$ متراقبتان إلا أنهما ليستا بسيطتي الترابط.

مثال 3.4.10 $\mathbb{C} \setminus [0, -\infty)$ و $B(i, 2) \cup \{z : -2 \leq \operatorname{Im}(z) \leq 4\}$ هي مجموعات بسيطة الترابط.

سنعطي أدناه نظرية من أهم النظريات في التحليل المركب والتي تعد أحد المعاول القوية في هذا المجال. وكون النظرية متقدمة وتتطلب إلماً أعمق، سنورد النظرية بدون برهان.

نظريه 3.4.11 ليكن $\Omega \neq \mathbb{C}$ نطاق، فإن Ω بسيط الترابط إذا وجدت دالة تحليلية f أحادية وشاملة من Ω إلى قرص الوحدة.

الآن لدينا تصور بأن القارئ مستعد للخوض في تفاصيل نظرية كوشي العامة.

نظريه 3.4.12 (نظرية كوشي الصيغة العامة)

لتكن f دالة تحليلية على Ω بسيط الترابط من \mathbb{C} و γ قوس أملس قطعاً ومغلق من Ω فإن

$$\int_{\gamma} f(z) dz = 0$$

برهان يكفي أن نبين أن الدالة f لها أصل. بفضل نظرية 3.4.11، من الممكن أن نعتبر أن $B(0,1) = \Omega$. وبالتالي فإنه لكل مثلث $\Delta \subset \Omega$ تكون داخلية Δ محتواه في Ω . لكن f تحليلية وبالتالي من نظرية 3.4.3 يكون

$$\int_{\Delta} f(z) dz = 0$$

وبتطبيق نظرية موريرا نجد أن الدالة f لها أصل Ω .

■ تطبيق لنظرية كوشي نعطي النتيجة التالية

نتيجة 3.4.13 لتكن f دالة تحليلية على بسيط الترابط Ω و γ_1, γ_2 قوسين أملسين قطعاً بحيث $\Omega \subset \gamma_1^* \cup \gamma_2^*$ ولمما نفس البداية والنهاية فإن

$$\int_{\gamma_1} f(z) dz = \int_{\gamma_2} f(z) dz$$

برهان ينتج المطلوب بتطبيق النظرية السابقة على القوس $\gamma^* = \gamma_1^* \cup \gamma_2^*$

3.5 صيغ كوشي التكاملية و مفكوك تايلور للدوال التحليلية

نبدأ هذا القسم بنظريتين لهما أهمية في أثبات نظرية مفكوك تايلور

تمهيدية 3.5.1 (نظرية ليز)

لتكن $\mathbb{C} : \phi : [a, b] \times [c, d] \rightarrow \mathbb{C}$ دالة متصلة و لتكن g دالة معرفة على الصورة

$$g(s) = \int_a^b \phi(t, s) dt$$

فإن g دالة متصلة. علاوة على ذلك ، إذا كانت $\frac{\partial \phi}{\partial s}$ موجودة ومتصلة فإن $g \in C^1$ ولنا

$$g'(s) = \int_a^b \frac{\partial \phi(t, s)}{\partial s} dt$$

تمهيدية 3.5.2 ليكن γ قوس أملس قطعاً من \mathbb{C} ولتكن f_n و f دوال متصلة على γ^* . إذا كانت f_n تتقارب بانتظام من f على γ^* فإن

$$\lim_{n \rightarrow \infty} \int_{\gamma} f_n(z) dz = \int_{\gamma} f(z) dz$$

نظيرية 3.5.3 (صيغة تكامل كوشي)

ليكن $a \in \mathbb{C}$ و $r > 0$ ولتكن f دالة تحليلية على مفتوح Ω يحوي القرص $\bar{B}(a, r)$ فإنه لكل $z \in B(a, r)$ يكون

$$f(z) = \frac{1}{2\pi i} \int_{\gamma_{(a,r)}} \frac{f(w)}{w - z} dw$$

برهان لنفترض أولاً أن $a = 0$ و $r = 1$. بما أن $z \in B(0, 1)$

$$1 = I(\gamma_{(0,1)}, z) = \frac{1}{2\pi} \int_0^{2\pi} \frac{e^{it}}{e^{it} - z} dt$$

وبالتالي يكون

$$f(z) = \frac{1}{2\pi} \int_0^{2\pi} \frac{f(z)e^{it}}{e^{it} - z} dt$$

الآن على الفترة $\mathbb{R} \subset [0, 1]$ نعرف الدالة

$$g(s) = \frac{1}{2\pi} \int_0^{2\pi} \frac{(f(e^{it}) + s(z - e^{it})) - f(z))e^{it}}{e^{it} - z} dt$$

لاحظ أن الدالة g حسنة التعريف على الفترة $[0, 1]$ لأن

$$|e^{it} + s(z - e^{it})| \leq |e^{it}(1 - s)| + |s|z| < (1 - s) + s = 1$$

و عندها نجد أن $g(0) = 0$ وإذا أردنا أن $g(1) = 0$ فإن المطلوب يتبع بصورٍ مباشرةً. لكن من نظرية ليبنر لنا

$$\begin{aligned} g'(s) &= \frac{1}{2\pi} \int_0^{2\pi} \frac{-(e^{it} - z)(f'(e^{it}) + s(z - e^{it}))e^{it}}{e^{it} - z} dt \\ &= \frac{-1}{2\pi i(1-s)} \int_0^{2\pi} (f(e^{it}) + s(z - e^{it}))' dt = 0 \end{aligned}$$

وعليه فإن $g(1) = g(0) = 0$. في الحالة العامة وعندما f تحليلية بجوار (a, r) و $z_0 \in B(a, r)$ فإن $g(z_0) = \frac{\xi_0 - a}{r} \in B(0, 1)$ ، الآن نعرف

$$g(z) = f(a + rz)$$

فنجد أن الدالة g تحليلية بجوار (a, r) ، وبالتالي نص النظرية يتبع عند تطبيق الفقرة الأولى من البرهان على الدالة g .

3.5.3 تطبيقات على نظرية

1. اعتمدنا سابقاً أن كل دالة تحليلية تكون من صنف C^∞ دون أن نبرهن ذلك، والآن نبين هذه الحقيقة. لنفرض أن f دالة تحليلية على مفتوح Ω يحوي القرص $\bar{B}(a, r)$ ، عندها يوجد $r > R$ بحيث تكون f تحليلية على $B(a, R)$ ومن نظرية كوشي نجد أن الدالة f لها أصل F على $B(a, R)$. الآن من صيغة كوشي التكاملية نجد أن

$$\forall z \in B(a, r), F(z) = \frac{1}{2\pi i} \int_{\gamma(a,r)} \frac{F(w)}{w - z} dw$$

وبهذه الصيغة نجد أن الدالة F قابلة للاشتقاق مالانهاية من المرات ولنا

$$F^{(n)}(z) = \frac{n!}{2\pi i} \int_{\gamma(a,r)} \frac{F(w)}{(w - z)^{n+1}} dw$$

وبالتالي تكون $f \in C^\infty(\Omega)$.

2. رأينا أن نظرية كوشي لا تحولنا لحساب قيمة قيمة التكامل

$$\int_{\gamma(0,2)} \frac{3z^6}{z - 1} dz$$

أما الآن وبوضع $f(z) = 3z^6$ نجد من صيغة تكامل كوشي أن

$$\int_{\gamma(0,2)} \frac{3z^6}{z - 1} dz = 2\pi i f(1) = 6\pi i$$

مثال 3.5.4 أوجد قيمة التكامل

$$\int_{\gamma(i, \frac{1}{2})} \frac{\log(z)}{(z-i)(z+1)} dz$$

الحل:

حيث أن الدالة $f(z) = \frac{\log(z)}{z+1}$ تحليلية على مفتوح¹ يحوي القرص $\bar{B}(i, \frac{1}{2})$, إذًا من صيغة تكامل كوشي نحصل على

$$\begin{aligned} \int_{\gamma(i, \frac{1}{2})} \frac{\log(z)/(z+1)}{(z-i)} dz &= 2\pi i f(i) \\ &= 2\pi i \frac{\log(i)}{i+1} = \frac{2\pi i - \pi}{1+i} \end{aligned}$$

طريقة أخرى:
باستخدام الكسور الجزئية نجد أن

$$\begin{aligned} \int_{\gamma(i, \frac{1}{2})} \frac{\log(z)/(z+1)}{(z-i)} dz &= \frac{1}{1+i} \int_{\gamma(i, \frac{1}{2})} \frac{\log(z)}{z-i} dz - \frac{1}{1+i} \int_{\gamma(i, \frac{1}{2})} \frac{\log(z)}{z+1} dz \\ &= \frac{2\pi i \log(i)}{1+i} + 0 \end{aligned}$$

نظرية 3.5.5 (صيغة تكامل كوشي العامة)
لتكن f دالة تحليلية على مفتوح Ω من \mathbb{C} . إذا كان γ قوس أملس قطعًا ومغلق بحيث

$$I(\gamma, z) = 0, \quad \forall z \in \mathbb{C} \setminus \Omega$$

فإنه لكل $z \in \Omega \setminus \gamma^*$ يكون

$$I(\gamma, z)f(z) = \frac{1}{2\pi i} \int_{\gamma} \frac{f(w)}{w-z} dw$$

نظرية 3.5.6 (مفكوك تايلور)
ليكن $a \in \mathbb{C}$ و $r > 0$ ولتكن f دالة تحليلية على مفتوح Ω يحوي $\bar{B}(a, r)$ فإنه لكل $z \in B(a, r)$ لنا

$$f(z) = \sum_{n=0}^{\infty} a_n (z-a)^n$$

حيث

$$a_n = \frac{f^{(n)}(a)}{n!} = \frac{1}{2\pi i} \int_{\gamma(a, r)} \frac{f(w)}{(w-a)^{n+1}} dw$$

برهان من تكامل كوشي نعلم أن

$$\begin{aligned} f(z) &= \frac{1}{2\pi i} \int_{\gamma(a, r)} \frac{f(w)}{w-z} dw \\ &= \frac{1}{2\pi} \int_0^{2\pi} \frac{f(a+re^{it})re^{it}}{a+re^{it}-z} dt \\ &= \frac{1}{2\pi} \int_0^{2\pi} \frac{f(a+re^{it})}{1-\frac{z-a}{re^{it}}} dt \end{aligned}$$

¹ يجب اختيار هذا المفتوح بعناية بحيث يكون بعيداً عن -1 .

لاحظ أن

$$\left| \frac{z-a}{re^{it}} \right| < 1$$

وعليه فإن

$$\frac{1}{1 - \frac{z-a}{re^{it}}} = \sum_{n=0}^{\infty} \left(\frac{z-a}{re^{it}} \right)^n$$

وبذلك يكون

$$f(z) = \frac{1}{2\pi} \int_0^{2\pi} f(a + re^{it}) \left[\sum_{n=0}^{\infty} \left(\frac{z-a}{re^{it}} \right)^n \right] dt$$

ومن التقارب المنتظم يمكننا تبديل الجموع مع التكامل فنحصل على

$$\begin{aligned} f(z) &= \sum_{n=0}^{\infty} \left(\frac{1}{2\pi r^n} \int_0^{2\pi} f(a + re^{it}) e^{-int} dt \right) (z-a)^n \\ &= \sum_{n=0}^{\infty} \left(\frac{1}{2\pi i} \int_{\gamma(a,r)} \frac{f(w)}{(w-a)^{n+1}} dw \right) (z-a)^n \end{aligned}$$

وحيث أن هذه المتسلسلة تتقارب بانتظام على $B(a, r)$ فإنه يمكننا أن نستقر حداً بحد، وبالتالي نجد أن

$$\frac{f^{(n)}(a)}{n!} = \frac{1}{2\pi i} \int_{\gamma(a,r)} \frac{f(w)}{(w-a)^{n+1}} dw$$

■

نتيجة 3.5.7 لتكن f دالة تحليلية على مفتوح Ω من \mathbb{C} و $a \in \Omega$ فإنه يوجد $r > 0$ بحيث

$$\forall z \in B(a, r), f(z) = \sum_{n=0}^{\infty} a_n (z-a)^n$$

■

برهان خذ $r < d(a, \partial\Omega)$ ، عندها النتيجة تتبع من النظرية السابقة.

مثال 3.5.8 الدالة $\frac{1}{z}$ تحليلية بجوار القرص $B(i, \frac{1}{2})$ ، ومن النظرية السابقة نجد أن

$$\forall z \in B(i, \frac{1}{2}), \frac{1}{z} = \sum_{n=0}^{\infty} a_n (z-i)^n$$

وبحساب المشتقات نحصل على

$$a_n = \frac{f^{(n)}(i)}{n!} = \frac{(-1)^n}{(i)^{n+1}}$$

نظرية 3.5.9 (متباينة كوشي)

ليكن $a \in \mathbb{C}$ و $r > 0$ ولتكن f دالة تحليلية على مفتوح Ω يحوي $B(a, r)$ فإن

$$\left| \frac{f^{(n)}(a)}{n!} \right| \leq \frac{1}{r^n} \sup_{|z-a|=r} |f(z)|$$

برهان نعلم من مفكوك تايلور ونظرية 3.2.10 أن

$$\begin{aligned} \left| \frac{f^{(n)}(a)}{n!} \right| &= \left| \frac{1}{2\pi i} \int_{\gamma(a,r)} \frac{f(w)}{(w-a)^{n+1}} dw \right| \\ &= \left| \frac{1}{2\pi r^n} \int_0^{2\pi} f(a + re^{it}) e^{-int} dt \right| \\ &\leq \frac{1}{r^n} \sup_{|z-a|=r} |f(z)| \end{aligned}$$

قد يبدو للقارئ من الورقة الأولى أن متباعدة كوشي ليست بتلك الأهمية وذلك لسهولة البرهان إلا إنه وعلى العكس تماماً فإن هذه المتباعدة لها العديد من التطبيقات المهمة ولعل من أهمها نظرية ليوفيل التي تنص على

نظرية 3.5.10 (نظرية ليوفيل)
لتكن f دالة كلية (أي تحليلية على كامل المركب). إذا كانت f محدودة فإنها ثابتة.

برهان ليكن $M = \sup\{|f(z)|, z \in \mathbb{C}\}$. من مفكوك تايلور لنا

$$\forall z \in \mathbb{C}, f(z) = \sum_{n=0}^{\infty} \frac{f^{(n)}(0)}{n!}$$

ولكن من متباعدة كوشي فإنه

$$\forall r > 0, \forall n \in \mathbb{N}, \left| \frac{f^{(n)}(0)}{n!} \right| \leq \frac{M}{r^n}$$

وحيث أن f دالة كلية، فإنه بأخذ النهاية عندما $\infty \rightarrow r$ نحصل على

$$\left| \frac{f^{(n)}(0)}{n!} \right| \leq \lim_{r \rightarrow \infty} \frac{M}{r^n} = 0, \forall n \in \mathbb{N}$$

وهذا يكون $f(a) = f(z)$ لكل $z \in \mathbb{C}$, أي أن f ثابتة.

من نظرية ليوفيل نرى أن الدوال $e^z, \sin z, \cos z$ دوال ليست محدودة وذلك كونها دوال كلية، وهذا يختلف عن الدوال في الحقيقة لأننا نعلم على سبيل المثال أن $|\sin x| \leq 1, \forall x \in \mathbb{R}$.

رأينا في بداية المقرر أن تعريف الضرب على الأعداد المركبة مكتننا من حل المعادلة $0 = 1 + z^2$ وهو ما لم يتسعنا لنا في الأعداد الحقيقة، والآن نورد نظرية مفادها ضمان وجود الجذور لكثيرات المحدود في المركب

نظرية 3.5.11 (النظرية الأساسية في الجبر)
إذا كانت P كثيرة حدود غير ثابتة فإن لها على الأقل جذر في \mathbb{C} .

برهان حيث أن P كثيرة حدود غير ثابتة فإن $\lim_{|z| \rightarrow \infty} |P(z)| = \infty$. في الواقع

$$P(z) = a_0 + a_1 z + \dots + a_n z^n = z_n \left(\frac{a_0}{z^n} + \frac{a_1}{z^{n-1}} + \dots + 1 \right)$$

لو كانت P ليس لها جذور فإن الدالة $f = \frac{1}{P}$ تحليلية على كامل المركب وتحقق

$$\lim_{|z| \rightarrow \infty} |f(z)| = 0$$

وبالتالي إذا كان $M > 0$ فإنه يوجد $R > |z|$ لكل $|f(z)| \leq M$ بحيث f متماثلة على المترافق $\overline{B}(0, R)$. من الناحية الأخرى فإن الدالة f متماثلة وبالتالي على قيمتها العظمى. وعليه فإن الدالة f محدودة ومن ليوغيل تكون ثابتة، وهذا يؤدي إلى أن P ثابتة وهذا تناقض.

تعريف 3.5.12 لتكن f دالة تحويلية على مفتوح Ω من \mathbb{C} فإننا نقول أن $a \in \Omega$ جذر للدالة f من الدرجة $m \geq 1$ إذا وفقط إذا كان

$$f(a) = \dots = f^{(m-1)}(a) = 0, \quad f^{(m)}(a) \neq 0$$

لاحظ أنه من مفكوك تايلور على Ω نجد أن

$$\forall z \in B(a, r), \quad f(z) = \sum_{n=0}^{\infty} \frac{f^{(n)}(a)}{n!} (z-a)^n = (z-a)^m \sum_{n=m}^{\infty} a_n (z-a)^{n-m}$$

وبذلك نستنتج أن كون a جذر من الدرجة m للدالة f يقتضي وجود $r > 0$ ودالة تحويلية g على $B(a, r)$ بحيث لكل $z \in B(a, r)$ فإن $f(z) = (z-a)^m g(z)$ و $g(a) \neq 0$.

نظريّة 3.5.13 (نظريّة الأصفار المعزولة)
لتكن f دالة تحويلية على نطاق Ω من \mathbb{C} فإن العبارات التالية متكافئة.

$$1. \quad f \equiv 0$$

$$2. \quad \text{يوجد عنصر } a \in \Omega \text{ بحيث } f^{(n)}(a) = 0 \text{ لـ } n \in \mathbb{N} \cup \{0\}$$

$$3. \quad \text{المجموعة } Z_f = \{z : f(z) = 0\} \text{ لها نقطة تراكم في } \Omega.$$

برهان من الواضح أن العبارة الثانية تتبع من الأولى مباشرةً. والآن لنفترض صحة العبارة (2). من مفكوك تايلور فإنه يوجد $r > 0$ بحيث

$$\forall z \in B(a, r), \quad f(z) = \sum_{n=0}^{\infty} \frac{f^{(n)}(a)}{n!} (z-a)^n = 0$$

أي أن a نقطة تراكم Z_f . بقي أن نبين أن العبارة الثالثة تقتضي الأولى. لتكن a نقطة تراكم لأصفار الحال f ولتكن A هي مجموعة نقاط تراكم Z_f . لاحظ أنه لو بینا أن A مغلقة ومفتوحة فإن $A = \Omega$ لأن Ω نطاق. ليكن $a \in A$ ، مرة أخرى نرى من مفكوك تايلور أن

$$\forall z \in B(a, r) \subseteq \Omega, \quad f(z) = \sum_{n=0}^{\infty} \frac{f^{(n)}(a)}{n!} (z-a)^n$$

لنفرض أن k أصغر عدد صحيح بحيث $f^{(k)}(a) \neq 0$ ، نجد أن

$$f(z) = (z-a)^k \left[\frac{f^{(k)}(a)}{k!} + \sum_{n=k+1}^{\infty} \frac{f^{(n)}(a)}{n!} (z-a)^{n-k} \right]$$

لنسع

$$h(z) = \frac{f^{(k)}(a)}{k!} + \sum_{n=k+1}^{\infty} \frac{f^{(n)}(a)}{n!} (z-a)^{n-k}$$

نجد أن الدالة h تحويلية على $B(a, r)$ وتحقق أن $h(a) \neq 0$. وبما أن h متماثلة، فإنه يوجد $\varepsilon > 0$ بحيث تكون الدالة h مغايرة للصفر عند جميع نقاط $B(a, \varepsilon)$. لكن هذا يقتضي أن العنصر a هو الصفر الوحيد للدالة $(z-a)^k h(z) = f(z)$ على القرص $B(a, \varepsilon)$. وهذا ينافي كون a نقطة تراكم للمجموعة A . إذًا $f^{(n)}(a) = 0$ لـ $n \in \mathbb{N} \cup \{0\}$ وبالتالي فإن $A \subset B(a, r)$.

وهذا معناه أن المجموعة A مفتوحة. لتبين أن A مغلقة نفترض متتابعة $(a_n) \subset A$ بحيث $a_n \rightarrow a$. ليكن V جوار للعنصر a , فإنة يوجد $N \in \mathbb{N}$ بحيث لكل $n > N$ يكون $a_n \in V$. وبما كل a_n نقطة تراكم لأصفار الدالة f , فإن الجوار V يحتوي على عدد لا يحصى من أصفار f وهذا هو تعريف أن a نقطة تراكم للمجموعة Z_f . بذلك تكون أخيرا برهان النظرية. ■

تطبيقات على نظرية الأصفار المعزولة

- جميع الدوال التحليلية بجوار الصفر التي تحقق $f(z) = \frac{1}{z+1}$ هي $f(\frac{1}{n}) = \frac{n}{n+1}$ حيث g دالة تحليلية تتحقق $f - g = 0$ فإن $A = \{\frac{1}{n}, n \in \mathbb{N}\}$ على المجموعة $\{f\}$ حيث أن A لها نقطة تراكم فإن $f \equiv g$.
- إذا كانت P كثيرة حدود غير صفرية فإن جذورها منتهية. وذلك لأن $\lim_{|z| \rightarrow \infty} |P(z)| = \infty$ وبالتالي يوجد $R > 0$ حيث جذور P محتوا في $\bar{B}(0, R)$. إذاً جذور P منتهية وإلا وجدت نقطة تراكم لجذورها. الآن لنكن a_1, \dots, a_n جذور كثيرة الحدود P من الدرجة m_1, \dots, m_n على التوالي، فإن جميع هذه الجذور من درجة منتهية. فعلى سبيل المثال لو كان $0 = f^{(n)}(a_1)$ فـ من مفكوك تايلور حول a_1 تكون P كثيرة حدود صفرية وهذا تناقض. إذاً نستنتج من ذلك أن P تكتب على الصورة

$$P(z) = (z - a_1)^{m_1} \dots (z - a_n)^{m_n}$$

- إذا كانت f دالة تحليلية على نطاق Ω و $a \in \Omega$ جذر من الدرجة m للدالة f فإنه يوجد $r > 0$ و g دالة تحليلية على $B(a, r)$ تتحقق $g(z) \neq 0, \forall z \in B(a, r)$

$$\forall z \in B(a, r), f(z) = (z - a)^m g(z)$$

أي أن أصفار الدوال التحليلية تكون معزولة.

نظرية 3.5.14 (مبدأ القيمة العظمى)
لتكن f دالة تحليلية على نطاق Ω من \mathbb{C} إذا وجد $a \in \Omega$ بحيث

$$|f(a)| = \sup_{z \in \Omega} |f(z)|$$

فإن f تكون ثابتة على Ω .

يتبع من هذه النظرية النص التالي

نتيجة 3.5.15 ليكن Ω مفتوح ومحدود من \mathbb{C} و f دالة تحليلية على Ω ومتصلة على $\bar{\Omega}$ فإن

$$\sup_{z \in \partial\Omega} |f(z)| = \sup_{z \in \Omega} |f(z)|.$$

ننهي هذا القسم بجزئية متعلقة بتمديد الدوال التحليلية.

نظرية 3.5.16 ليكن Ω نطاق من \mathbb{C} و L مستقيم من المركب. إذا كانت f متصلة على $\Omega \setminus L$ وتحليلية على $\Omega \setminus L$ فهي تحليلية على كامل Ω .

برهان البرهان يعتمد على إثبات أن تكامل f على كل مثلث من Ω مساوي للصفر وهو متترك كتمرين للقارئ. ■

نظرية 3.5.17 ليكن Ω مفتوح من المركب $a \in \Omega$. إذا كانت f دالة تحليلية على $\Omega \setminus \{a\}$ ومحدودة بجوار a فإنه توجد دالة تحليلية \tilde{f} على Ω بحيث $\tilde{f} = f$ على $\Omega \setminus \{a\}$.

برهان لنعرف الدالة

$$g(z) = \begin{cases} (z-a)^n f(z), & z \neq a \\ 0, & z = a \end{cases}$$

ما أن الدالة f محدودة بجوار، فإن الدالة g تكون متصلة على $\Omega \setminus \{a\}$ وتحليلية على $\Omega \setminus \{a\}$ وبالتالي من نظرية 3.5.16 فإن g تكون تحليلية على كامل Ω . لكن من مفهوم تايلور يوجد $r > 0$ بحيث

$$\forall z \in B(a, r), \quad g(z) = \sum_{n=0}^{\infty} a_n (z-a)^n = (z-a) \sum_{n=1}^{\infty} a_n (z-a)^{n-1}$$

والآن بوضع $\tilde{f} = \frac{g(z)}{z-a}$ نجد أن \tilde{f} دالة تحليلية على Ω وتحقق أن

$$\tilde{f}(z) = \frac{g(z)}{z-a} = f(z), \quad \forall z \in \Omega \setminus \{a\}.$$

■

نظريه الباقي

4.1 مفهوم لوران وتصنيف النقاط الشاذة

تطرقنا سابقاً لتعريف النقاط الشاذة المعزلة، وفي هذا القسم سنقوم بدراستها بصورة مستفيضة. وقبل أن نخوض في ذلك سنتثبت الرمز $B(a; r, R)$ على أنه المجموعة $\{z \in \mathbb{C} : r < |z - a| < R\}$ حيث $a \in \mathbb{C}$ و $0 < r < R$.

تعريف 4.1.1 نقول أن النقطة $z \in a$ نقطة شاذة معزلة للدالة f إذا وجد $0 > r$ بحيث تكون f تحليلية على $B(a; 0, r)$. عندها صنف a كالتالي:

1 . a نقطة شاذة مزالة إذا و فقط إذا وجدت دالة تحليلية g على $(B(a, r))$ بحيث $f = g$ على $(B(a, 0, r))$. أي أن f قابلة للتمديد كدالة تحليلية على $B(a, r)$ وتمديدها \tilde{f} هو g .

2 . a قطب من الدرجة m إذا و فقط إذا كانت a نقطة شاذة مزالة بالنسبة للدالة $f(z) = (z - a)^m$.

3 . a نقطة شاذة أساسية إذا و فقط إذا لم تكن لا مزالة ولا قطب.

مثال 4.1.2 الدالة $f(z) = \frac{2z^2+z}{2z+1}$ دالة تحليلية على $B(\frac{-1}{2}; 0, r)$ ، لكن لوأخذنا $z = g(z)$ نجد أن g دالة تحليلية على $B(\frac{-1}{2}, r)$ وتحقق أن $f = g$ على $B(\frac{-1}{2}, r)$ لأنها

$$\forall z \in B(\frac{-1}{2}; 0, r), f(z) = \frac{z(2z+1)}{2z+1} = z$$

وبالتالي فإن $a = \frac{-1}{2}$ نقطة شاذة مزالة للدالة f

مثال 4.1.3 الدالة $f(z) = \frac{1}{z}$ دالة تحليلية على \mathbb{C}^* ونجدها حاصل الضرب $f(z) = z^{-1}$ دالة تحليلية على كامل المركب وبالتالي فإن $a = 0$ هو قطب للدالة. لاحظ أن $a = 0$ لا يمكن أن تكون نقطة شاذة مزالة للدالة f لأنه لو أمكن تمديد الدالة $f(z) = \frac{1}{z}$ بحيث تكون تحليلية على \mathbb{C} فإنه من نظرية كوشي على بسيط الترابط يكون تكامل \tilde{f} مساوياً للصفر على كل قوس أملس قطعاً من \mathbb{C} وهذا ينافي كون

$$\int_{\gamma_{(0,1)}} \frac{1}{z} dz = 2\pi i$$

مثال 4.1.4 الدالة $f(z) = e^{\frac{1}{z}}$ دالة تحليلية على \mathbb{C}^* وبالتالي من تعريف الدالة الأساسية فإنه لكل $z \neq 0$ يكون

$$e^{\frac{1}{z}} = 1 + \frac{1}{z} + \frac{1}{2z^2} + \frac{1}{(3!)z^3} + \dots + \frac{1}{(n!)z^n} + \dots$$

ومن هنا نرى أن $a = 0$ نقطة شاذة أساسية للدالة $e^{\frac{1}{z}}$ ، لأنه لا يوجد $n \in \mathbb{N}$ بحيث تكون $e^{\frac{1}{z}}$ تحليلية وذلك كون الأسس السالبة مستمرة بالظهور وهو ما يتنافى مع مفهوم تайлور للدوال التحليلية.

تعريف 4.1.5 لتكن f دالة تحليلية على $B(a; 0, r)$ فإننا نقول أن a قطب للدالة f من الدرجة m إذا و فقط إذا كان m أصغر عدد طبيعي بحيث تكون a نقطة شاذة مزالة بالنسبة للدالة $(z - a)^m f(z) = g(z)$.

ملاحظة 4.1.6 نلاحظ من التعريف السابق أن g تحليلية على $B(a, r)$ وبالتالي من مفكوك تايلور للدوال التحليلية نجد أن

$$\begin{aligned} f(z) &= \frac{g(z)}{(z - a)^m} = \frac{1}{(z - a)^m} \sum_{n=0}^{\infty} a_n (z - a)^n \\ &= \underbrace{\frac{a_0}{(z - a)^m} + \frac{a_1}{(z - a)^{m-1}} + \dots + \frac{a_{m-1}}{(z - a)}}_{\text{الشاذ الجزء}} + \sum_{n=m}^{\infty} a_n (z - a)^{n-m} \end{aligned}$$

نظيرية 4.1.7 (مفكوك لوران)
ليكن $a \in \mathbb{C}$ و $0 < r < R$ ولتكن f دالة تحليلية على مفتوح Ω يحوي $B(a; r, R)$ فإنه

$$\forall z \in B(a; r, R), \quad f(z) = \sum_{n=-\infty}^{\infty} a_n (z - a)^n$$

حيث

$$a_n = \frac{1}{2\pi i} \int_{\gamma(a,r)} \frac{f(z)}{(z - a)^{n+1}} dz, \quad t \in (r, R)$$

الآن سوف نستخدم مفكوك لوران كأداة لتصنيف النقاط الشاذة من خلال النظرية التالية.

نظيرية 4.1.8 لنكن a نقطة شاذة منعزلة للدالة f و لتكن f لها مفكوك لوران على الصورة

$$f(z) = \sum_{n=-\infty}^{\infty} a_n (z - a)^n, \quad \forall z \in B(a; 0, r).$$

فإن:

1. (1) a نقطة شاذة إذا و فقط إذا كان $a_n = 0$ لكل $n \leq -1$ إذا و فقط إذا وجد $\varepsilon > 0$ بحيث تكون الدالة f محدودة على $B(a; 0, \varepsilon)$.

2. (2) قطب إذا و فقط إذا وجد عدد طبيعي m بحيث $a_{-m} \neq 0$ و كان $a_{-n} = 0$ لكل $n > m$ إذا و فقط إذا كانت

$$\lim_{z \rightarrow a} |f(z)| = \infty$$

3. (3) a نقطة شاذة أساسية إذا و فقط إذا كان $a_n \neq 0$ لعدد لا نهائي من الأعداد الصحيحة السالبة n إذا و فقط إذا كان لكل $\varepsilon > 0$ فإن $f(B(a; 0, \varepsilon))$ كثيف في \mathbb{C} .

برهان

1. (1) لنفرض أن a نقطة شاذة مزالة للدالة f . من التعريف فإنه توجد دالة تحليلية \tilde{f} على $B(a, r)$ بحيث $\tilde{f} = f$ خارج النقطة a . لكن من مفكوك تايلور فإن على القرص $B(a, r)$ يكون

$$\tilde{f}(z) = \sum_{n=0}^{\infty} a_n (z - a)^n$$

وحيث أن الدالة $\tilde{f} = f$ على $B(a; 0, r)$ فإن

$$f(z) = \sum_{n=-\infty}^{\infty} a_n(z-a)^n = \sum_{n=0}^{\infty} a_n(z-a)^n$$

أي أن $a_n = 0$ لـ $-1 \leq n$ وذلك من وحدانية مفكوك لوران. الآن لنفرض أن $a_0 \neq 0$. فإن الدالة f ستكون مساوية لجزئها التحليلي، وعند وضعنا $\tilde{f} = \sum_{n=0}^{\infty} a_n(z-a)^n$ سنجد أن الدالة \tilde{f} تحليلية على $B(a, r)$ وبالتالي فهي محدودة بجوار النقطة a ، وعليه فإن الدالة f محدودة على $B(a; 0, \varepsilon)$ لـ $\varepsilon < r < 0$. لنكمل برهان (1)، نفرض أنه يوجد $\varepsilon < r < 0$ بحيث تكون الدالة f محدودة على $B(a; 0, \varepsilon)$. من نظرية 3.5.17، نجد أنه توجد دالة تحليلية g تحليلية على $B(a, r)$ بحيث $g = f$ خارج النقطة a ، ومن هنا نرى أن a نقطة شاذة مزالة للدالة f .

2. لنفرض أن a قطب من الدرجة m للدالة f . من التعريف

■

مثال 4.1.9 أوجد مفكوك لوران للدالة $f(z) = \frac{1}{(z-1)(z-2)}$ عندما

$$|z| < 1 . 1.$$

$$1 < |z| < 2 . 2.$$

$$|z| > 2 . 3.$$

الحل

مثال 4.1.10 أوجد مفكوك لوران للدالة $f(z) = \frac{1}{z-3}$ على صورة

1. متسلسلة قوى موجبة في z .

2. متسلسلة قوى سالبة في z .

الحل

1. لكي يكون المفكوك على صورة أساس موجبة في z ، فإننا من مفكوك تايلور نبحث عن جوار Ω للصفر بحيث تكون عليه الدالة f تحليلية. وبالتالي لو أخذنا $\Omega = \{z \in \mathbb{C}, |z| < 1\}$ فإن الدالة $\frac{1}{z-3}$ تحليلية على Ω ومن مفكوك تايلور نحصل

$$\frac{1}{z-3} = \sum_{n=0}^{\infty} \frac{f^{(n)}(0)}{n!} z^n$$

وبالاستقراء نستطيع أن نبرهن أن

$$f^{(n)}(0) = \frac{-(n!)}{3^{n+1}} \Rightarrow \frac{1}{z-3} = \sum_{n=0}^{\infty} \frac{-1}{3^{n+1}} z^n$$

كما يمكننا أن نرى ذلك بطريقة أخرى باستخدام مجموع المتسلسلة الهندسية وذلك كون $|z| < 1$ أي أن

$$|\frac{z}{3}| < \frac{1}{3} \Rightarrow \frac{1}{z-3} = \frac{-1}{3(1-\frac{z}{3})} = \frac{-1}{3} \sum_{n=0}^{\infty} \left(\frac{z}{3}\right)^n = \sum_{n=0}^{\infty} \frac{-1}{3^{n+1}} z^n$$

2. لاحظ أن الدالة تحليلية على $\{z \in \mathbb{C} \setminus \{3\}\}$ وبالتالي لن نصل للمطلوب لو أوجدنا مفكوك لوران للدالة حول النقطة $z = 3$ لأن المفكوك سيكون متسلسلة قوى في $z - 3$ ولذلك سنوسع الدائرة لتشمل النقطة صفر لنحصل على متسلسلة قوى سالبة في z . وعليه نختار $\Omega = \{z \in \mathbb{C}, |z| > 3\}$ فنجد أن

$$\frac{1}{z-3} = \frac{1}{z(1-\frac{3}{z})}$$

وما أن لكل $z \in \Omega$ يكون $|z| > \frac{3}{|z|}$ فإن

$$\frac{1}{z-3} = \frac{1}{z} \sum_{n=0}^{\infty} \left(\frac{3}{z}\right)^n$$

مثال 4.1.11 صنف النقاط الشاذة بالنسبة للدوال التالية

$$f_1(z) = \frac{z^2}{(z-1)(z-i)^2}, f_2(z) = \frac{e^z}{z \sin z}, f_3(z) = \frac{\sin z}{z}$$

الحل

1. الدالة f_1 تحليلية على $\mathbb{C} \setminus \{1, i\}$. إذاً النقاط الشاذة المنعزلة هي $a = 1, i$. ندرس الدالة بجوار كل نقطة على حدا فنجد أن الدالة $\frac{z^2}{(z-i)^2}$ تحليلية على القرص $B(1, \frac{1}{2})$ وبالتالي لها مفكوك تايلور على الصورة

$$\frac{z^2}{(z-i)^2} = \sum_{n=0}^{\infty} a_n (z-1)^n, \forall z \in B(1, \frac{1}{2})$$

أي أن الدالة f_1 بجوار النقطة $z = 1$ تكتب على الصورة

$$f_1(z) = \frac{1}{z-1} \sum_{n=0}^{\infty} a_n (z-1)^n = \frac{a_0}{z-1} + a_1 + a_2(z-1) + \dots + a_n(z-1)^{n-1} + \dots$$

إذاً $a = 1$ قطب من الدرجة الأولى (بسيط) للدالة f_1 . نقوم بنفس العملية لتصنيف النقطة $a = i$, فنجد من مفكوك تايلور أن

$$\frac{z^2}{z-1} = \sum_{n=0}^{\infty} b_n (z-i)^n, \forall z \in B(i, \frac{1}{2})$$

بالتالي فإن الدالة f_1 بجوار i لها المفكوك

$$f_1(z) = \frac{1}{(z-i)^2} \sum_{n=0}^{\infty} b_n (z-i)^n = \frac{b_0}{(z-i)^2} + \frac{b_1}{z-i} + b_2 + b_3(z-i) + \dots + b_n(z-i)^{n-2} + \dots$$

أي أن i قطب من الدرجة الثانية.

2. الدالة f_2 تحليلية إلا عند اصفار المقام. ومن دراستنا السابقة لأصغار الدالة $\sin z$ فإننا نجد أن f_2 تحليلية على $\mathbb{C} \setminus \{2k\pi, k \in \mathbb{Z}\}$. سندرس الآن النقطة $a = 2k\pi$. حيث أن

$$\sin' z = \cos z \Rightarrow \sin' 2k\pi = 1 \neq 0$$

فإن $a = 2k\pi$ جذر بسيط للدالة $\sin z$ وبالتالي من نظرية الأصغار المعزولة يوجد جوار V_k للنقطة $a = 2k\pi$ ودالة تحليلية g_k على V_k تتحقق $g_k(z) \neq 0$ لـ $\forall z \in V_k$ بحيث $\sin z = (z - 2k\pi)g_k(z)$. من ذلك نستنتج أن

$$f_2(z) = \frac{e^z}{z(z - 2k\pi)g_k(z)}, \forall z \in V_k$$

وحيث أن $\frac{e^z}{g_0(z)}$ دالة تحليلية فإن $a = 0$ هو قطب من الدرجة الثانية للدالة f_2 . بينما لكل $k \neq 0$ فإن $a = 2k\pi$ هو قطب بسيط للدالة f_2 وذلك لأن $\frac{e^z}{z^2 g_k(z)}$ تحليلية لكل $k \neq 0$.

3. من الوهلة الأولى نرى أن $a = 0$ نقطة شاذة منعزلة للدالة f_3 , وبإيجاد مفكوك تايلور نحصل على

$$\frac{\sin z}{z} = \frac{1}{z} \sum_{n=1}^{\infty} (-1)^{n+1} \frac{z^{2n-1}}{(2n-1)!} = \sum_{n=1}^{\infty} (-1)^{n+1} \frac{z^{2n-2}}{(2n-1)!}$$

ومن هنا نجد أن $a = 0$ نقطة شاذة مزالة بالنسبة للدالة f_3 .

4.2 نظريّة الباقي

في هذا القسم سندرس نظريّة الباقي والتي تعمم نظريّات التكامل السابقة، كما أنها وسيلة فعالة لحساب التكاملات المعتلة.

تعريف 4.2.1 لتكن a نقطة شاذة منعزلة للدالة f والتي لها مفكوك لوران على الصورة

$$f(z) = \sum_{n=-\infty}^{\infty} a_n(z-a)^n, \quad \forall z \in B(a; 0, r)$$

فإن باقي الدالة f عند a هو المعامل a_{-1} (معامل $\frac{1}{z-1}$) وعندما نكتب

مثال 4.2.2 رأينا سابقاً أن النقطة $0 = a$ نقطة شاذة أساسية للدالة $e^{\frac{1}{z}}$ ، من تعريف الدالة الأساسية

$$e^{\frac{1}{z}} = 1 + \frac{1}{z} + \frac{1}{2!z^2} + \dots + \frac{1}{n!z^n} + \dots$$

$$\text{إذ} \quad Res(e^{\frac{1}{z}}, 0) = \frac{1}{(n+1)!}$$

لاحظ أنه أحياناً يكون من الصعب إيجاد المفكوك لحساب الباقي. لذا نورد النتيجة التالي والتي ستساعدنا على حساب الباقي عند الأقطاب.

نتيجة 4.2.3 لتكن النقطة a قطب للدالة f من الدرجة m فإن باقي f عند a يعطى على الصورة

$$Res(f, a) = \lim_{z \rightarrow a} \frac{[(z-a)^m f(z)]^{(m-1)}}{(m-1)!}$$

برهان من الملاحظة 4.1.6 وجدنا أن $(z-a)^m f(z) = g(z)$ دالة تحليلية ومن ذلك استنتجنا أن

$$\begin{aligned} f(z) &= \frac{g(z)}{(z-a)^m} = \frac{1}{(z-a)^m} \sum_{n=0}^{\infty} \alpha_n(z-a)^n \\ &= \frac{\alpha_0}{(z-a)^m} + \frac{\alpha_1}{(z-a)^{m-1}} + \dots + \frac{\alpha_{m-1}}{(z-a)} + \sum_{n=m}^{\infty} \alpha_n(z-a)^{n-m} \end{aligned}$$

إذ

$$Res(f, a) = \alpha_{m-1} = \frac{g^{m-1}(a)}{(m-1)!} = \lim_{z \rightarrow a} \frac{[(z-a)^m f(z)]^{(m-1)}}{(m-1)!}$$

مثال 4.2.4 في المثال 4.1.11 وجدنا أن للدالة f_1 قطب بسيط عند $1 = a$ وقطب من الدرجة الثانية عند i . ومن النتيجة السابقة لنا

$$Res(f_1, 1) = \lim_{z \rightarrow 1} (z-1)f_1(z) = \lim_{z \rightarrow 1} \frac{z^2}{(z-i)^2} = \frac{1}{(1-i)^2}$$

بينما

$$\begin{aligned} Res(f_1, i) &= \lim_{z \rightarrow i} \frac{[(z-i)^2 f_1(z)]'}{(2-1)!} \\ &= \lim_{z \rightarrow i} \left[\frac{z^2}{z-1} \right]' \\ &= \lim_{z \rightarrow i} \frac{2z(z-1) - z^2}{(z-1)^2} = \frac{-1-2i}{(i-1)^2} \end{aligned}$$

مثال 4.2.5 الدالة f_3 لها قطب من الدرجة الثانية عند الصفر وبالتالي فإن

$$Res(f_3, 0) = \lim_{z \rightarrow 0} \left[\frac{e^z}{g_0(z)} \right]' = \lim_{z \rightarrow 0} \frac{e^z(g_0(z) - g'_0(z))}{g_0^2(z)}$$

لکن

$$g_0(z) = \frac{\sin z}{z} = 1 - \frac{z^2}{3!} + \frac{z^4}{5!} - \dots$$

ومن هنا نرى أن $g_0(0) = 1$ و $g'_0(0) = 0$. إذًا

$$Res(f, 0) = 1$$

نظريّة البوافي (4.2.6)

ليكن Ω مفتوح من \mathbb{C} و a_1, \dots, a_n نقاط ن Ω ولتكن f دالة تحليلية على $\{\} \setminus \{a_1, \dots, a_n\}$. إذا كان γ قوس أMLS قطعاً ومغلق من Ω بحيث $I(\gamma, z) = \int_{\gamma} f(z) dz$ لـ كل $z \in \Omega$ و $a_j \notin \gamma^*$, $j = 1, \dots, n$

$$\int_{\gamma} f(z) \, dz = 2\pi i \sum_{j=1}^n Res(f, a_j) * I(\gamma, a_j)$$

مثال 4.2.7 لتكن f_1 كما في المثال 4.1.11 فإن

$$\int_{\gamma_{(i,\frac{1}{2})}} f_1(z) \, dz = 2\pi i [Res(f_1, 1) * I(\gamma_{(i,\frac{1}{2})}, 1) + Res(f_1, i) * I(\gamma_{(i,\frac{1}{2})}, i)]$$

من الحسابات التي قمنا بها في المثال 4.2.4 نجد أن

$$\int_{\gamma_{(i,\frac{1}{2})}} f_1(z) \, dz = 2\pi i [Res(f_1, 1) * 0 + Res(f_1, i) * 1] = -2\pi i \left(\frac{1+2i}{(i-1)^2} \right)$$

فی حین اُن

$$\int_{\gamma_{(1, \frac{1}{3})}} f_1(z) \ dz = \frac{2\pi i}{(i-1)^2}$$

مثال 4.2.8 اعتبر الدالة f_2 من المثال 4.1.11 ، رأينا أن النقطة $a = 0$ قطب من الدرجة الثانية للدالة f_2 وأن $\text{Res}(f_2, 0) = 1$ وبالتالي من نظرية الباقي نجد أن

$$\int_{\gamma_{(0,1)}} f_2(z) \ dz = 2\pi i$$

مثال 4.2.9 ليكن $R >> 1$. أوجد قيمة التكامل

$$\int_{\gamma_R} \frac{z^2}{z^4 + 1} dz$$

حیث

$$\gamma_R(t) = \begin{cases} Re^{it} & , 0 \leq t \leq \pi \\ \frac{2t-3\pi}{\pi}R & , \pi \leq t \leq 2\pi \end{cases}$$

الحال

برسم القوس γ_R نجد أن صورته هي اتحاد النصف العلوي للدائرة التي مركزها 0 ونصف قطرها R مع القطعة $[-R, R]$. الآن ندرس الدالة $\frac{z^2}{z^4 + 1}$ فنجد أن لها نقاط شاذة عند أصفار المقام وهي

$$a_1 = e^{\frac{\pi i}{4}}, a_2 = e^{\frac{3\pi i}{4}}, a_3 = e^{\frac{5\pi i}{4}}, a_4 = e^{\frac{7\pi i}{4}}$$

وعليه فمن نظريّة البوافي نحصل على

$$\int_{\gamma_R} \frac{z^2}{z^4 + 1} dz = 2\pi i \sum_{j=1}^4 \text{Res}\left(\frac{z^2}{z^4 + 1}, a_j\right) * I(\gamma, a_j)$$

وحيث أن a_3, a_4 تقعان في النصف السفلي من المركب فإن

$$\int_{\gamma_R} \frac{z^2}{z^4 + 1} dz = 2\pi i \sum_{j=1}^2 \text{Res}\left(\frac{z^2}{z^4 + 1}, a_j\right)$$

لكن $(z - a_1)(z - a_2)(z - a_3)(z - a_4) = z^4 + 1$. أي أن a_1, a_2 قطبيان بسيطين للدالة والباقي هو

$$\begin{aligned} \text{Res}\left(\frac{z^2}{z^4 + 1}, a_1\right) &= \frac{a_1^2}{(a_1 - a_2)(a_1 - a_3)(a_1 - a_4)} \\ &= \frac{a_1^2}{a_1^3(1 - \frac{a_2}{a_1})(1 - \frac{a_3}{a_1})(1 - \frac{a_4}{a_1})} \\ &= \frac{e^{\frac{-\pi i}{4}}}{(1 - i) * 2 * (1 + i)} = \frac{1 - i}{4\sqrt{2}} \end{aligned}$$

بطريقة مشابهة نجد أن

$$\text{Res}\left(\frac{z^2}{z^4 + 1}, a_2\right) = \frac{-1 - i}{4\sqrt{2}}$$

ومن ذلك نستنتج أن

$$\int_{\gamma_R} \frac{z^2}{z^4 + 1} dz = 2\pi i \left(\frac{1 - i}{4\sqrt{2}} - \frac{1 + i}{4\sqrt{2}} \right) = 2\pi i \frac{-2i}{4\sqrt{2}} = \frac{\pi}{\sqrt{2}}$$

تطبيقات على نظريّة البوافي

كما أسلفنا فإن نظريّة البوافي تساعدننا على حساب بعض الصيغ التكاملية ونورد كتطبيق لهذه بعض الأمثلة.

مثال 4.2.10 أوجد قيمة التكامل التالي

$$\int_{-\infty}^{\infty} \frac{x^2}{x^4 + 1} dx$$

الحل

لنعتبر γ_R كما في المثال السابق. رأينا أن

$$\int_{\gamma_R} \frac{z^2}{z^4 + 1} dz = \frac{\pi}{\sqrt{2}}$$

وباستخدام تعريف التكامل على الأقواس نحصل على

$$\begin{aligned} &\int_{-R}^R \frac{x^2}{x^4 + 1} dx + \int_0^{2\pi} \frac{R^2 e^{2it}}{R^4 e^{4it} + 1} iRe^{it} dt = \frac{\pi}{\sqrt{2}} \\ \Rightarrow \int_{-R}^R \frac{x^2}{x^4 + 1} dx &= - \int_0^{2\pi} \frac{R^2 e^{2it}}{R^4 e^{4it} + 1} iRe^{it} dt + \frac{\pi}{\sqrt{2}} \end{aligned}$$

لـكـن

$$\begin{aligned} \lim_{R \rightarrow \infty} \left| \int_0^{2\pi} \frac{R^2 e^{2it}}{R^4 e^{4it} + 1} iRe^{it} dt \right| &\leq \lim_{R \rightarrow \infty} \int_0^{2\pi} \left| \frac{R^2 e^{2it}}{R^4 e^{4it} + 1} iRe^{it} \right| dt \\ &\leq \lim_{R \rightarrow \infty} \int_0^{2\pi} \frac{R^3}{R^4 - 1} dt = 0 \end{aligned}$$

إذاً

$$\int_{-\infty}^{\infty} \frac{x^2}{x^4 + 1} dx = \frac{\pi}{\sqrt{2}}$$

بصورةٍ عامـة، وباستخدام نفس الفكرة في المثال السابق نستطيع أن نبيـن النتيـجة التـالية.

نتيـجة 4.2.11 لـتـكـن $P(x)$ و $Q(x)$ كـثـيرـيـ حدودـ في \mathbb{R} بـحيـث $\deg P + 2 \leq \deg Q$ و $0 \neq Q(x) \neq 0$ لـكـل $x \in \mathbb{R}$ (أـيـ أنـ Q لـيـسـ لهاـ أـصـفـارـ حـقـيقـيـةـ). إـذـاـ كـانـتـ a_1, \dots, a_n هـيـ أـصـفـارـ Q فيـ المـركـبـ فإنـ

$$\int_{-\infty}^{\infty} \frac{P(x)}{Q(x)} dx = 2\pi i \sum_{Im(a_j) > 0} Res\left(\frac{P(z)}{Q(z)}, a_j\right)$$

مثال 4.2.12 لـحـسابـ قـيمـةـ التـكـاملـ

$$\int_{-\infty}^{\infty} \frac{3}{x^2 + 2x + 2} dx$$

نـصـعـ 3 و $P(x) = x^2 + 2x + 2$ و $Q(x) = x^2 + 2x + 2$ ، ولـكـنـ

$$Q(z) = 0 \Rightarrow z = \frac{-2 \pm \sqrt{4 - 8}}{2} = -1 \pm i$$

إذاً

$$\int_{-\infty}^{\infty} \frac{3}{x^2 + 2x + 2} dx = 2\pi i Res\left(\frac{3}{z^2 + 2z + 2}, -1 + i\right) = 3\pi$$

عـلـىـ نـفـسـ المـنـوـالـ، باـسـطـاعـتـناـ أـنـ نـبـرـهـنـ النـصـ التـالـيـ

نتيـجة 4.2.13 ليـكـنـ $\alpha > 0$ و لـتـكـنـ $P(x)$ و $Q(x)$ كـثـيرـيـ حدودـ في \mathbb{R} بـحيـث $\deg P + 1 \leq \deg Q$ و $0 \neq Q(x) \neq 0$ لـكـلـ $x \in \mathbb{R}$ (أـيـ أنـ Q لـيـسـ لهاـ أـصـفـارـ حـقـيقـيـةـ). إـذـاـ كـانـتـ a_1, \dots, a_n هـيـ أـصـفـارـ Q فيـ المـركـبـ فإنـ

$$\int_{-\infty}^{\infty} \frac{P(x)e^{i\alpha x}}{Q(x)} dx = 2\pi i \sum_{Im(a_j) > 0} Res\left(\frac{P(z)e^{i\alpha z}}{Q(z)}, a_j\right)$$

مثال 4.2.14 لـحـسابـ قـيمـةـ التـكـاملـ

$$\int_{-\infty}^{\infty} \frac{\cos x}{x^2 + 1} dx$$

نـقـومـ أـولـاًـ بـحـسـابـ أـصـفـارـ المـقامـ فـنـجـدـ أـنـ $(z - i)(z + i) = z^2 + 1$ أيـ أنـ الأـصـفـارـ هـيـ $-i$, i ، وبالـتـعـويـضـ فيـ النـتـيـجـةـ السـابـقـةـ عنـ $1 = \alpha = 1$ و $P(x) = 1$ و $Q(x) = x^2 + 1$

$$\int_{-\infty}^{\infty} \frac{e^{ix}}{x^2 + 1} dx = 2\pi i Res\left(\frac{e^{iz}}{z^2 + 1}, i\right) = 2\pi i \frac{e^{-1}}{2i} = \frac{\pi}{e}$$

تمـرين 4.2.15 أـوجـدـ قـيمـةـ التـكـامـلاتـ التـالـيـةـ

$$1) \int_{-\infty}^{\infty} \frac{x \sin x}{x^2 + 1} dx \quad 2) \int_{-\infty}^{\infty} \frac{x \cos^2 x}{x^4 + 1} dx \quad 3) \int_{-\infty}^{\infty} \frac{2x + 1}{x^4 + 2x^2 + 1} dx$$

الاخبار الفصلية النهائي	جامعة الملك فيصل
الفصل الثاني من العام 1434-1435 هـ	كلية العلوم
الزمن : ساعتان	قسم الرياضيات والإحصاء
تحليل مركب(كلية العلوم)	الدرجة :

الاسم: الرقم الأكاديمي:

السؤال الأول

لتكن f دالة معرفة على الصورة التالية

$$f(z) = z^2 e^{\frac{1}{z}}$$

1. أوجد مجموعة النقاط التي تكون عندها الدالة f تحليلية، ثم أوجد مشتقتها.
2. بِّين أن الصفر نقطة شاذة أساسية للدالة f .
3. أثبت أنه توجد متتابعة $(z_n)_{n \in \mathbb{N}}$ متقاربة إلى الصفر بحيث تكون

$$\lim_{n \rightarrow \infty} f(z_n) = 1$$

4. أوجد قيمة التكامل

$$\int_{\gamma(0,1)} f(z) \, dz$$

ثم استنتج أنه لا توجد متتابعة من كثیرات حدود (P_n) تقارب بانتظام من الدالة f على حدود قرص الوحدة.

السؤال الثاني

1. أورد نص نظرية ليوفيل. هل تبقى النظرية صحيحة على \mathbb{C}^* ? ماذا عن النطاق $(-\infty, 0) \setminus \mathbb{C}$? ببر إجابتك.
2. لتكن f دالة تحليلية على كامل المركب. أثبت أن $f(\mathbb{C})$ كثيف في \mathbb{C} .
3. استنتج من الفقرة السابقة أنه إذا كانت u دالة توافقية على كامل المركب وموجبة فهي ثابتة.
4. أوجد جميع الدوال التحليلية f على $\mathbb{C} \setminus \{1\}$ والتي تحقق أن

$$f^{(n)}(0) = n!, \quad \forall n \in \mathbb{N} \cup \{0\}$$

(تلميح: ادرس مفهوك الدالة بجوار الصفر)

السؤال الثالث

1. لتكن f دالة تحليلية على مفتوح Ω من المركب ولتكن a_1, \dots, a_n هي أصغار الدالة f من الدرجة m_1, \dots, m_n على الترتيب. بيّن أنه إذا كان γ قوس أملس قطعاً ومغلق من Ω لا يمر بأصغار f ويتحقق أن $I(\gamma, z) = 0$ لكل $z \in \mathbb{C} \setminus \Omega$ فإن

$$\int_{\gamma} \frac{f'(z)}{f(z)} dz = 2\pi i \sum_{j=1}^n m_j * I(\gamma, a_j)$$

ثم استنتج قيمة التكامل

$$\int_{\gamma(1, \frac{1}{2})} \frac{dz}{z \log(z)}$$

2. أوجدي قيمة التكاملات التالية.

$$1) \quad \int_{-\infty}^{\infty} \frac{1}{x^2 + 2x + 2} dx, \quad 2) \quad \int_{-\infty}^{\infty} \frac{\cos x}{x^2 + 1} dx$$

جامعة الملك فيصل
كلية العلوم - قسم الرياضيات والإحصاء
جمادى الأول 1435 هـ

الاختبار الفصلي الأول لمادة التحليل المركب (العلوم)

الاسم:
الرقم الأكاديمي:

السؤال الأول

1 . ليكن $i = -1 + i$

(a) أوجد $\log \alpha^{16}$ و α .

(b) أوجد حلول المعادلة : $z^4 = \alpha$.

2 . أوجد الجزء الحقيقي والتخيلي للمقدار

$$\frac{1 - e^{i(n+1)t}}{1 - e^{it}}, \quad n \in \mathbb{N}$$

استنتج قيمة $\sin t + \dots + \sin nt$

3 . أثبتت كما جاء في الدرس أنه إذا كانت $a \in \mathbb{C}$ و $0 < r < u$ توافقية على قرص B_a^r فإنه يوجد لها مرافق توافقي.

استنتاج من ذلك أن الدالة $\log|z|^2$ لها مرافق توافقي على القرص B_{-2}^1 ثم أوجده.

السؤال الثاني

1 . أثبت العبارات التالية أو انفها بمثال المضاد.

- إذا كانت f دالة متصلة على \mathbb{C} و g دالة تحليلية على كامل المركب، وكانت $g \circ f$ قابلة للاشتتقاق عند $z_0 \in \mathbb{C}$ ، فإن f قابلة للاشتتقاق عند z_0 .
- لا يوجد تعين للوغراريتم على \mathbb{C}^* .

2 . ليكن Ω نطاق من \mathbb{C} و f دالة لها أصل على Ω .

(a) بين أنه إذا كان γ_1, γ_2 قوسين أملسين قطعاً من Ω بحيث لهما نفس البداية والنهاية فإن

$$\int_{\gamma_1} f(z) dz = \int_{\gamma_2} f(z) dz$$

هل تبقى النتيجة صحيحة لو كانت f تحليلية فقط؟ بره إجابتك.

(b) أثبت أنه لو كانت F_1, F_2 دالتي أصل للدالة f على Ω فإنه يوجد $c \in \mathbb{C}$ بحيث $F_1 = F_2 + c$.

السؤال الثالث

1 . أثبتت أنه إذا كان γ قوساً أملس قطعاً ومغلقاً من \mathbb{C} ، فإن الدليل ثابت على كل جزء متراابط γ^* . استنتج من النظرية السابقة قيمة التكامل

$$\int_0^{2\pi} \frac{e^{it}}{2e^{it} - 1} dt$$

2 . ليكن γ_3 ثم احسب $\gamma_R = Re^{it}$, $0 \leq t \leq \frac{\pi}{2}$. ارسم γ_3 و γ_R
 $\lim_{R \rightarrow \infty} \int_{\gamma_R} \frac{e^{iz}}{z^2} dz$

جامعة الملك فيصل
كلية العلوم - قسم الرياضيات والإحصاء
16 صفر 1434 هـ

الاختبار الفصلي الثاني لمادة التحليل المركب

الاسم:
الرقم الأكاديمي:

السؤال الأول

1 . اذكر نص وبرهان النظرية الأساسية في الجبر.

. ليكن $\gamma_R(t) = Re^{it}$, $0 \leq t \leq \frac{\pi}{2}$

(a) اشتق الدالة $z \log z$ ثم استنتج قيمة التكامل

(b) أوجد

$$\lim_{R \rightarrow \infty} \int_{\gamma_R} \frac{1}{z^2} dz$$

السؤال الثاني

1 . أوجد قيمة التكامل

$$\int_{\gamma} \frac{z^2}{(z-i)^2(z-1)} dz$$

عندما

$$\gamma(t) = i + \frac{1}{2}e^{it}, \quad t \in [0, 2\pi] \quad (\text{a})$$

$$\gamma(t) = 1 + \frac{1}{2}e^{-it}, \quad t \in [0, 2\pi] \quad (\text{b})$$

2 . أوجد جميع الدوال التحليلية f بجوار الصفر والتي تتحقق أن $\lim_{n \rightarrow \infty} f(\frac{1}{n}) = 0$ لـ $n \in \mathbb{N}$.

السؤال الثالث

1 . أوجد مفكوك لوران للدالة $f(z) = \frac{1}{(z-1)(z+1)}$

- (a) عندما $|z - 1| < \frac{1}{2}$
(b) عندما $|z| > 1$.

2 . صنف النقاط الشاذة للدوال التالية

$$f(z) = \frac{z^2 + 1}{z^2(z - i)}, \quad g(z) = \frac{1}{e^z - 1}$$

السؤال الرابع

- 1 . لتكن f دالة تحويلية على نطاق Ω من \mathbb{C} ولتكن a جذر من الدرجة m للدالة f . بيّن أن a قطب من الدرجة $\frac{1}{f}$ للدالة m .
- 2 . ليكن $0 \leq t \leq \gamma^*$. ارسم صورة γ ثم بيّن أنه يوجد تعيين على اللوغاريتم على $\mathbb{C} \setminus \gamma^*$.

الاختبار الفصلي الأول لمادة التحليل المركب 1 (ماجستير)

الاسم:
رقم الأكاديمي:

السؤال الأول

- 1 . أوجد الجزء الحقيقي والتخيلي للدالة $f(z) = e^{\frac{1}{z}}$ ثم بين أنها تحليلية على \mathbb{C}^* . هل توجد متتابعة من كثیرات حدود P_n , $n \in \mathbb{N}$ تقارب بانتظام من الدالة f على $\gamma_{(0,1)}$.
- 2 . ليكن Ω مفتوح من \mathbb{C} و $f : \Omega \rightarrow \mathbb{C}$ دالة متصلة، ولتكن Ω' مفتوح من \mathbb{C} بحيث $\Omega' \subset \Omega$ و $f(\Omega) \subset \Omega'$ دالة تحليلية على Ω' تتحقق أن $g'(w) \neq 0$ لكل $w \in \Omega'$. إذا كان $a \in \Omega$ والدالة $h(z) = g(f(z))$ تحليلية وأحادية بجوار النقطة a فأثبتت أن (a) موجودة وأوجد صيغتها.
- 3 . ليكن Ω نطاق من \mathbb{C} و f دالة تحليلية على Ω بين أن الدالة $g(z) = \overline{f(\bar{z})}$ تحليلية على Ω .

السؤال الثاني

1.1 . لتكن f دالة تحليلية على مفتوح Ω ويكن Δ مثلث محتوى هو وداخليته في Ω . أثبت أن

$$\int_{\Delta} f(z) dz = 0 \quad) (0.0.1$$

هل تبقى النتيجة صحيحة لو أغفلنا الشرط على داخلية المثلث؟ ببر إجابتك.

2.2 . ليكن Ω نطاق من \mathbb{C} و f دالة لها أصل على Ω .

(a) بين أنه إذا كان γ_1, γ_2 قوسين أملسين قطعاً من Ω بحيث لهما نفس البداية والنهاية فإن

$$\int_{\gamma_1} f(z) dz = \int_{\gamma_2} f(z) dz \quad) (0.0.2$$

هل تبقى النتيجة صحيحة لو كانت f تحليلية فقط؟ ببر إجابتك.

(b) أثبت أنه لو كانت F_1, F_2 دالتي أصل للدالة f على Ω فإنه يوجد $c \in \mathbb{C}$ بحيث $F_1 = F_2 + c$

3.3 . ليكن $\gamma_R = -1 + Re^{it}$, $0 \leq t \leq \frac{\pi}{4}$. أوجد

$$1) \lim_{R \rightarrow 0} \int_{\gamma_R} \frac{\cos z}{z+1} dz \quad , \quad 2) \lim_{R \rightarrow \infty} \int_{\gamma_R} \frac{e^{iz}}{(z+1)^2} dz \quad) (0.0.3$$

السؤال الثالث

1.1 . ليكن

$$\gamma(t) = \begin{cases} te^{it} & , 0 \leq t \leq 2\pi \\ t & , t \geq 2\pi \end{cases} \quad (0.0.4)$$

صورة القوس Γ في المستوى، ثم بين أن Γ مغلق ومترابط وغير محدود من \mathbb{C} .

2.2 . بين أنه يوجد φ تعيين للوغاريم وحيد على $\mathbb{C} \setminus \Gamma$ يتحقق $\varphi(i) = i\frac{\pi}{2}$.

3.3 . أوجد مجال تعريف وقيمة الدالة $F(z) = \log(z) - \varphi(z - 3i)$. ثم استنتج قيمة $\varphi(3 - 3i)$ هو التعيين الأساسي للوغاريم.

4.4 . هل توجد دالة تحويلية محدودة على $\mathbb{C} \setminus \Gamma$ ؟

الاختبار النهائي لمادة التحليل المركب 1 (ماجستير)

الاسم:
الرقم الأكاديمي:

السؤال الأول

1. أوجد الجزء الحقيقي والتخيلي للدالة $f(z) = e^{\frac{1}{z-1}}$ ثم بين أين تكون تحليلية وصنف نقاطها الشاذة.
2. هل $|f(z)|$ موجودة؟ برهن إجابتك.
3. لتكن $A = \{z : f(z) = 1\}$. بين أن $[0, 1] \cap A$ غير ممتدة. هل يتنافض ذلك مع نظرية الأصفار المعزولة؟
4. لتكن $w \in \mathbb{C}$ أثبت أنه توجد متتابعة $(z_n)_{n \in \mathbb{N}}$ بحيث $z_n \rightarrow 1$ وتحقق أن $w \rightarrow f(z_n)$.
5. لتكن $g : B(0, 1) \rightarrow \mathbb{C}^*$ دالة تحليلية. أثبت أنه يوجد دالة تحليلية h على $B(0, 1)$ بحيث $g = e^h$.

السؤال الثاني

1. اذْكُر نص وبرهان نظرية البوافي.

2. ليكن γ هو القوس المعرف كالتالي

$$\gamma(t) = \begin{cases} te^{it} & , 0 \leq t \leq 2\pi \\ 4\pi - t & , 2\pi \leq t \leq 4\pi \end{cases} \quad (0.0.1)$$

صور γ^* واحسب التكامل

$$\int_{\gamma} \frac{dz}{z^2 + \pi^2} \quad (0.0.2)$$

3. أُوجِد قيمة التكاملات التالية:

$$1) \int_{-\infty}^{\infty} \frac{dx}{x^2 + 2x + 2} \quad 2) \int_0^{2\pi} \frac{d\theta}{4 + \cos \theta} \quad (0.0.3)$$

السؤال الثالث

1. لتكن $f : B(0, 1) \rightarrow B(0, 1)$ تقابل تحليلي بحيث $f(0) = 0$. بين أن $\lambda z = \lambda z$ و $|\lambda| = 1$.

2. ليكن $|a| < 1$. بين أن الدالة

$$\varphi_a(z) = \frac{z - a}{1 - \bar{a}z} \quad (0.0.4)$$

تقابل تحليلي على قرص الوحدة وأوجد معكوسها.

3. بين أن كل تقابل تحليلي على قرص الوحدة يكون على الصورة $\lambda \varphi_a$ حيث $1 = |\lambda|$ و $|a| < 1$.

4. بين أنه إذا كانت $f : B(0, 1) \rightarrow B(0, 1)$ دالة تحليلية وكان $f(a) = \alpha$ فإن

$$|f'(a)| \leq \frac{1 - |\alpha|^2}{1 - |a|^2} \quad (0.0.5)$$

5. هل توجد دالة تحليلية $f : B(0, 1) \rightarrow B(0, 1)$ بحيث يكون $f(\frac{1}{2}) = \frac{3}{4}$ و $f'(\frac{1}{2}) = \frac{3}{4}$ ؟